

Gravimètres à atomes froids

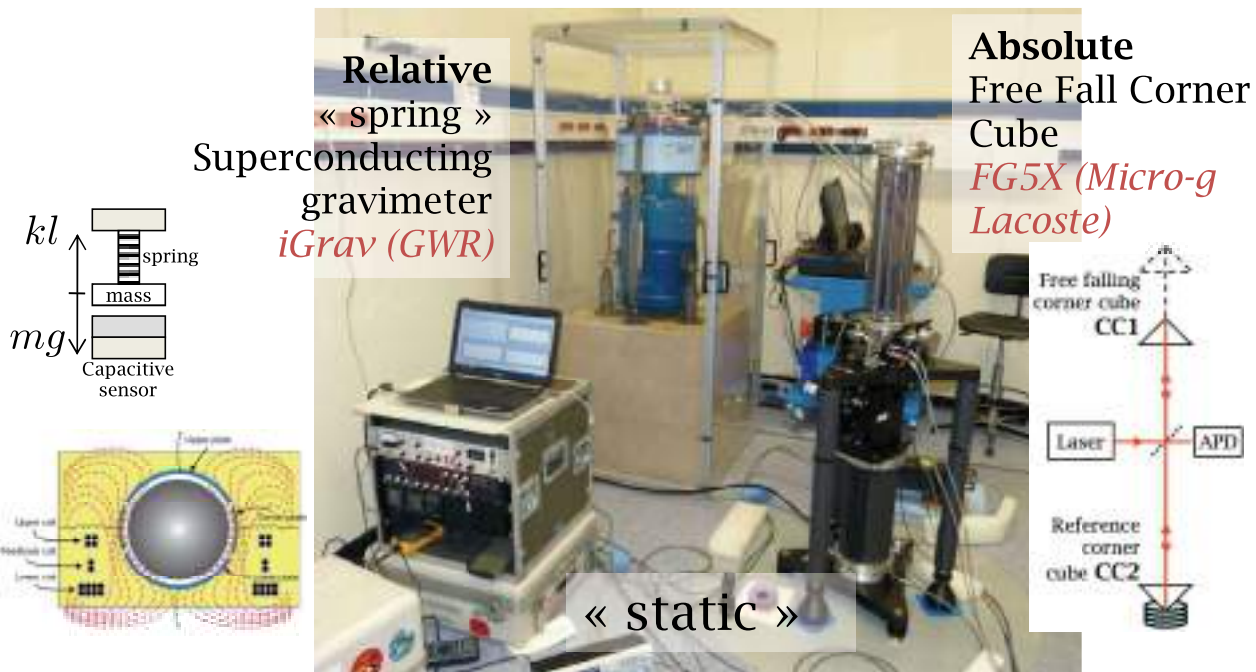
S. Merlet

LNE-SYRTE, Observatoire de Paris, Université PSL, CNRS, Sorbonne Université, Paris, France

<https://syrte.obspm.fr/spip/science/iaci/>

Gravimétrie - Instruments

Gravimeters



Continuous (1 Hz averaged)
 $\sim 0.1 \text{ nm.s}^{-2}$ in 1 000 s

Drift (small)
 Not accurate, to be calibrated

Gradiometers

$$\vec{g} \quad g = |\vec{g}| \quad \text{grad } \vec{g}$$

$$1 \mu\text{Gal} = 10 \text{ nm.s}^{-2} \quad 1 E = 10^{-9} \text{ s}^{-2}$$

$$\sim 10^{-9} g \quad = 0.1 \mu \text{Gal.m}^{-1}$$

Combination of accelerometers, (gyro stabilized plateform), Electrostatic, superconducting

FTG (Lockheed Martin)



EGG (ARkEX)



GOCE (ESA)



VK1 (UWA)

Differential measurements

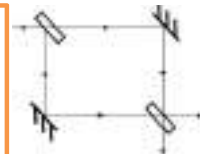
$$FTG : 20 - 2 E.Hz^{-1/2}$$

$$SG : 0.5 E.Hz^{-1/2}$$

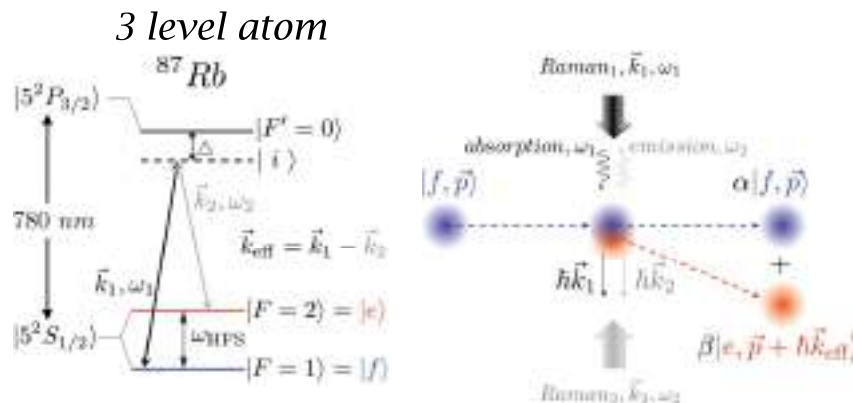
$$GOCE : \sim 10 mE.Hz^{-1/2}$$

Interférométrie Atomique - Principe

- Interférométrie atomique exploite la dualité onde-corpuscule
- Manipulation cohérente de paquets d'onde atomiques à l'aide de séparatrices laser
- Deux laser contrapropageants réalisent des lames séparatrices et un miroir
- Interféromètre analogue à un Mach Zehnder optique
- Séquence de trois impulsions lasers séparées par un temps d'évolution libre T
- La différence de phase module la population dans les ports de sortie de l'interféromètre

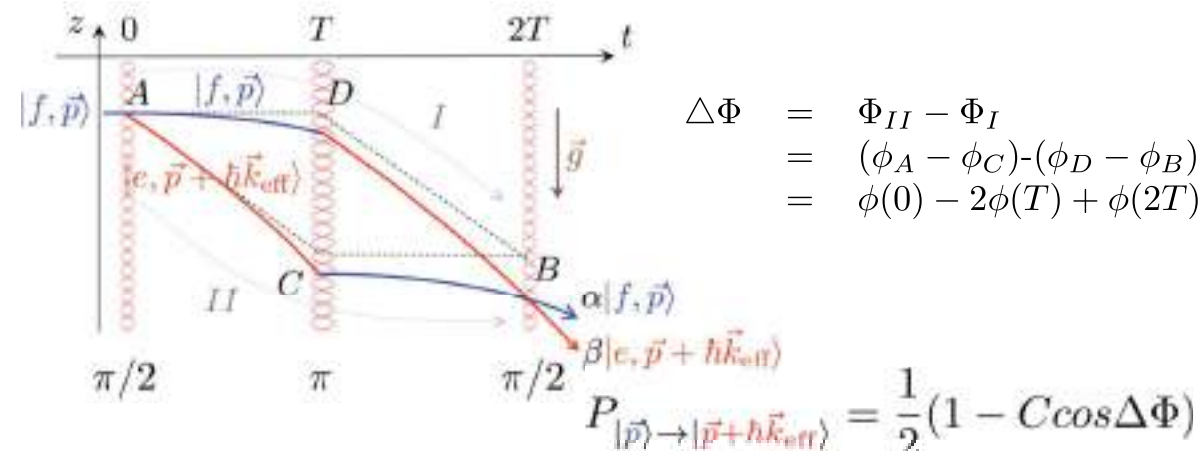


Stimulated Raman transitions



Two photon transition coupling $|f\rangle$ and $|e\rangle$

$$\phi(t) = \omega_{\text{eff}} t - \vec{k}_{\text{eff}} \vec{z}(t) + \varphi_{\text{eff}}(t)$$



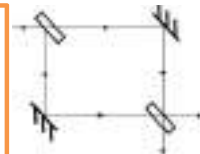
$$z = \frac{1}{2}gt^2$$

$$\Delta\Phi = -\vec{k}_{\text{eff}} \vec{g} T^2$$

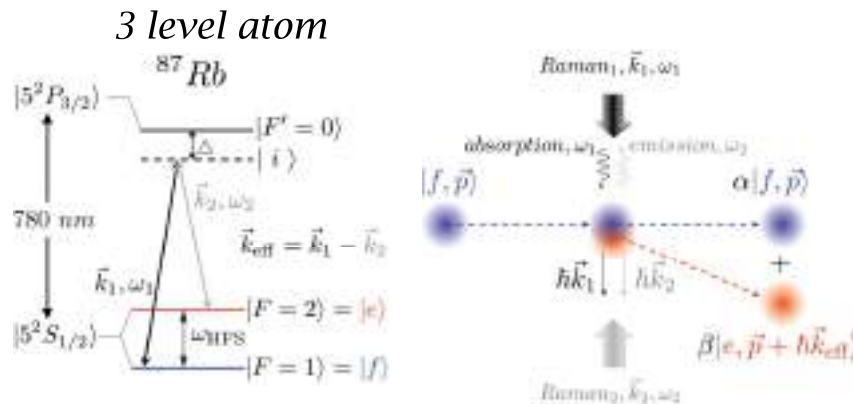
Scales as T^2 , benefits of cold atoms

Interférométrie Atomique - Principe

- Interférométrie atomique exploite la dualité onde-corpuscule
- Manipulation cohérente de paquets d'onde atomiques à l'aide de séparatrices laser
- Deux laser contrapropageants réalisent des lames séparatrices et un miroir
- Interféromètre analogue à un Mach Zehnder optique
- Séquence de trois impulsions lasers séparées par un temps d'évolution libre T
- La différence de phase module la population dans les ports de sortie de l'interféromètre

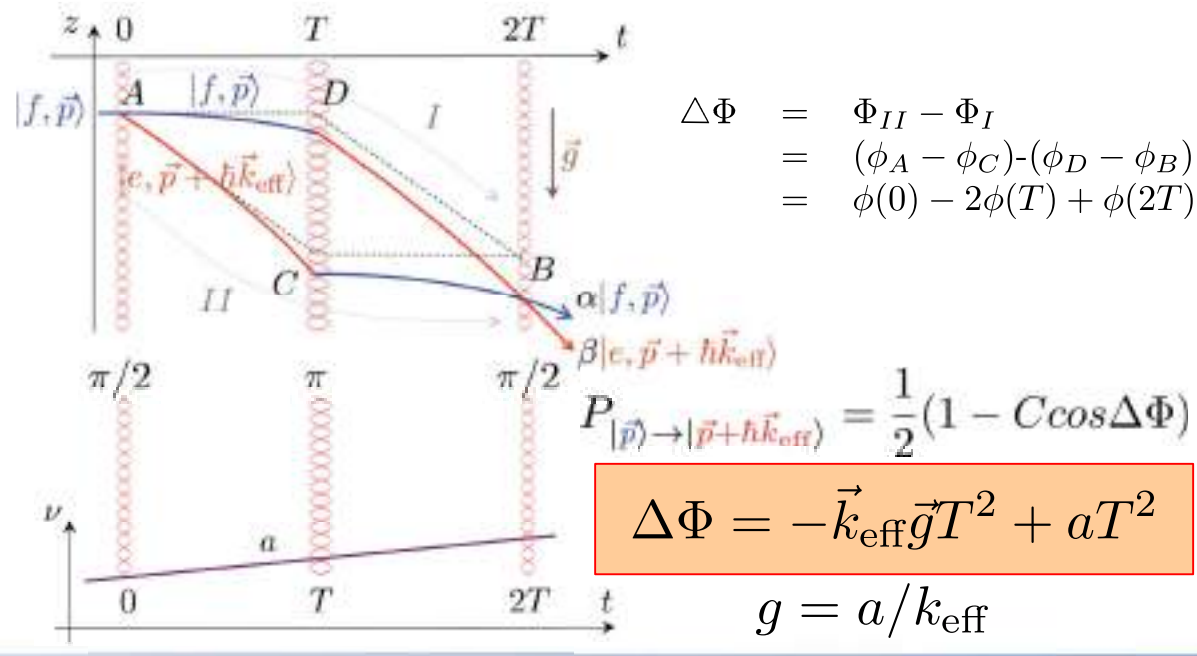


Stimulated Raman transitions



Two photon transition coupling $|f\rangle$ and $|e\rangle$

$$\phi(t) = \omega_{\text{eff}} t - \vec{k}_{\text{eff}} \vec{z}(t) + \varphi_{\text{eff}}(t)$$



Expériences pionnières : USA

VOLUME 67, NUMBER 2

PHYSICAL REVIEW LETTERS

8 JULY 1991

Atomic Interferometry Using Stimulated Raman Transitions

Mark Kasevich and Steven Chu

Departments of Physics and Applied Physics, Stanford University, Stanford, California 94305
(Received 23 April 1991)

The mechanical effects of stimulated Raman transitions on atoms have been used to demonstrate a matter-wave interferometer with laser-cooled sodium atoms. Interference has been observed for wave packets that have been separated by as much as 2.4 mm. Using the interferometer as an inertial sensor, the acceleration of a sodium atom due to gravity has been measured with a resolution of 3×10^{-10} after 1000 sec of integration time.

PACS numbers: 32.80.Pj, 07.60.Ly, 35.80.+s, 42.50.Vk

metrologia

High-precision gravity measurements using atom interferometry

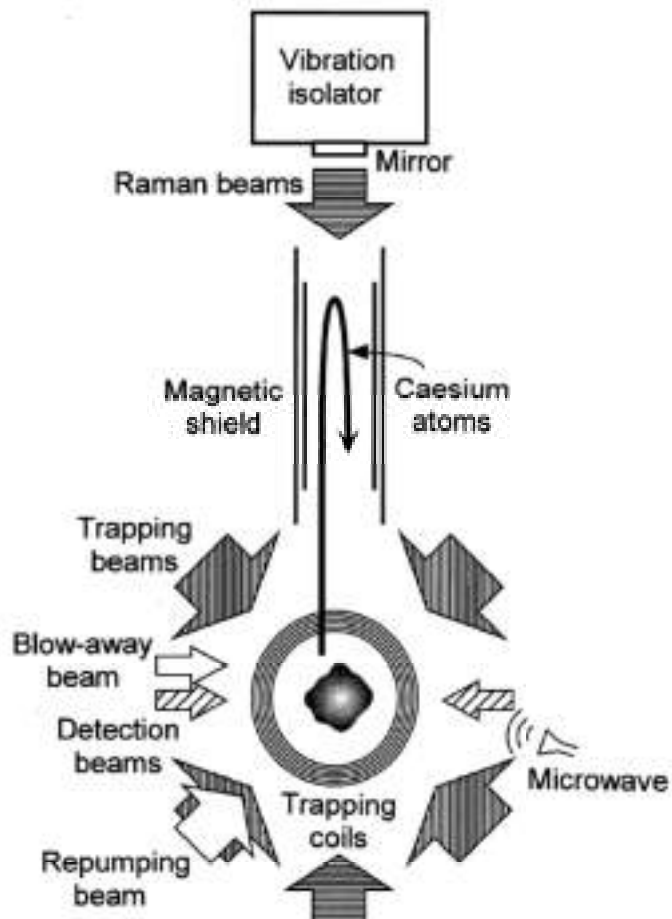
A. Peters, K. Y. Chung and S. Chu

Metrologia, 2001, 38, 25-61

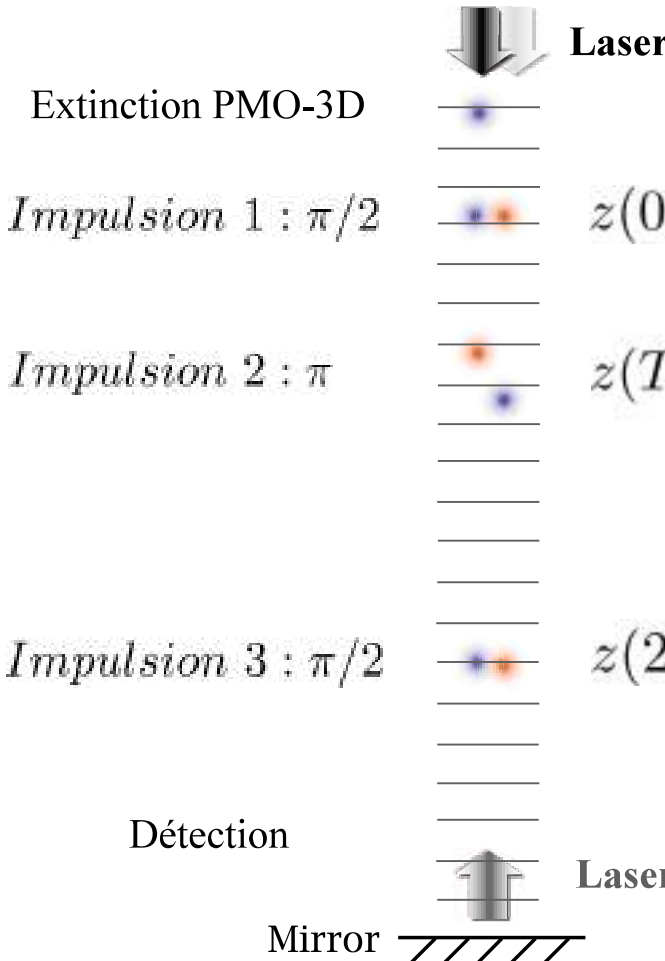
Abstract. We have built an atom interferometer that can measure g , the local acceleration due to gravity, with a resolution of $\Delta g/g = 2 \times 10^{-10}$ after a single 1.3 s measurement cycle, 3×10^{-10} after 1 min and 1×10^{-10} after two days of integration time. The difference between our value for g and one obtained by a falling corner-cube optical interferometer is $(7 \pm 7) \times 10^{-9} g$. The atom interferometer uses velocity-selective stimulated Raman transitions and laser-cooled caesium atoms in an atomic fountain. We extend previous methods of analysing the interferometer to include the effects of a gravitational gradient. We also present detailed experimental and theoretical studies of potential systematic errors and noise sources.

Commission Geo-Pos

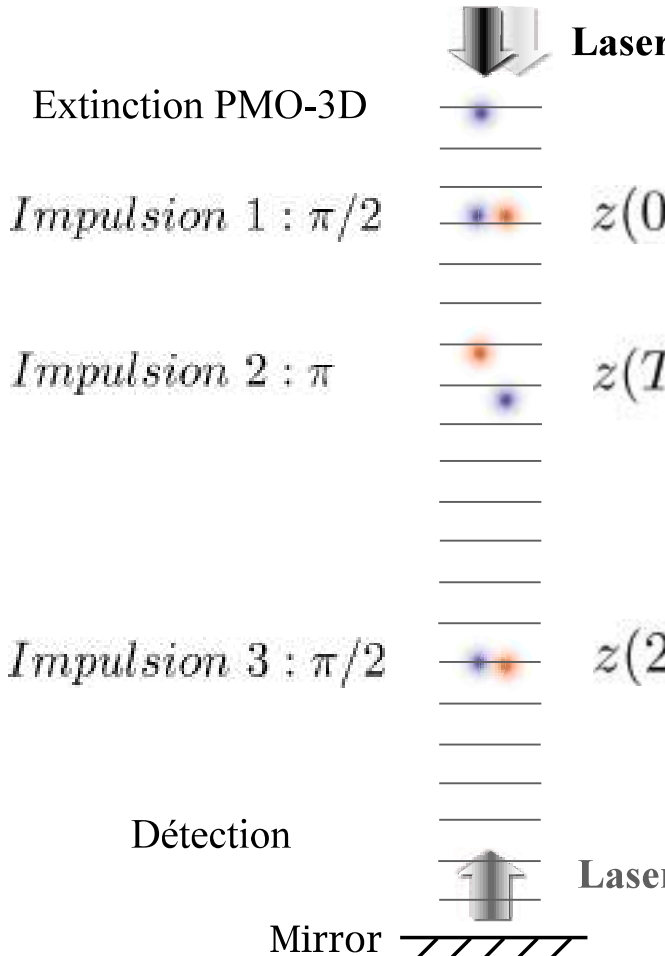
Observatoire de Paris



Gravimètre du LNE-SYRTE



Gravimètre du LNE-SYRTE



Chargement
PMO-3D

Préparation

↑ Interféromètre ↓

80 ms

20 ms

80 ms

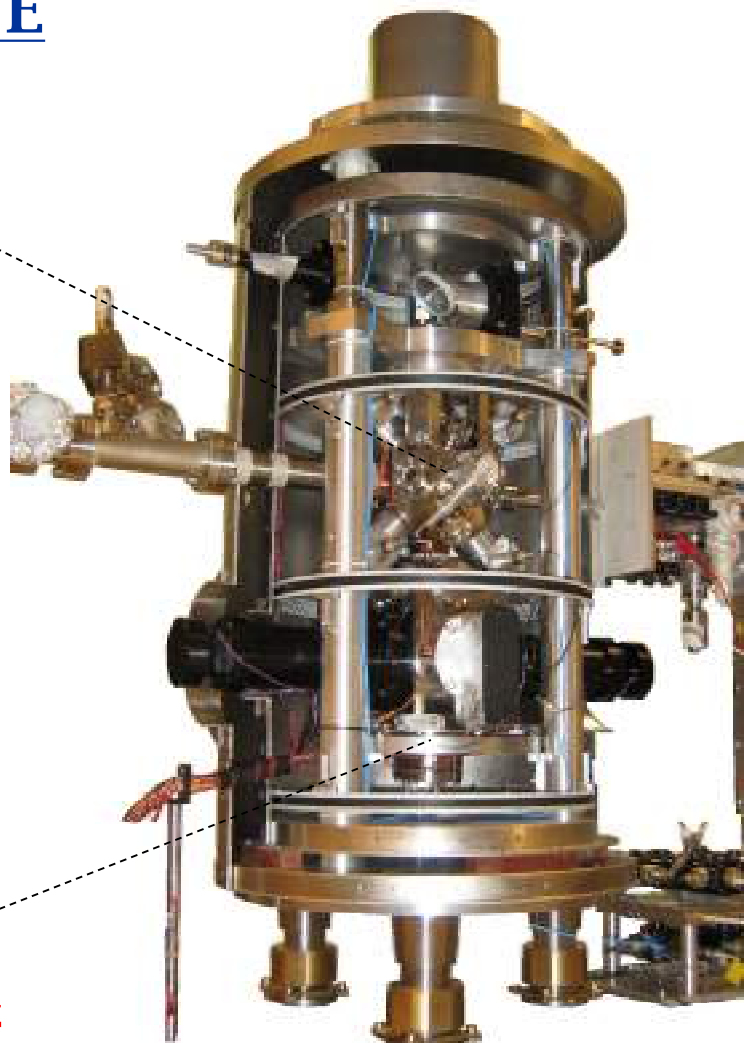
80 ms

60 ms

Chute libre

Fréquence de mesure : 3 Hz

atomic measurement = measure of the relative displacement atoms/mirror

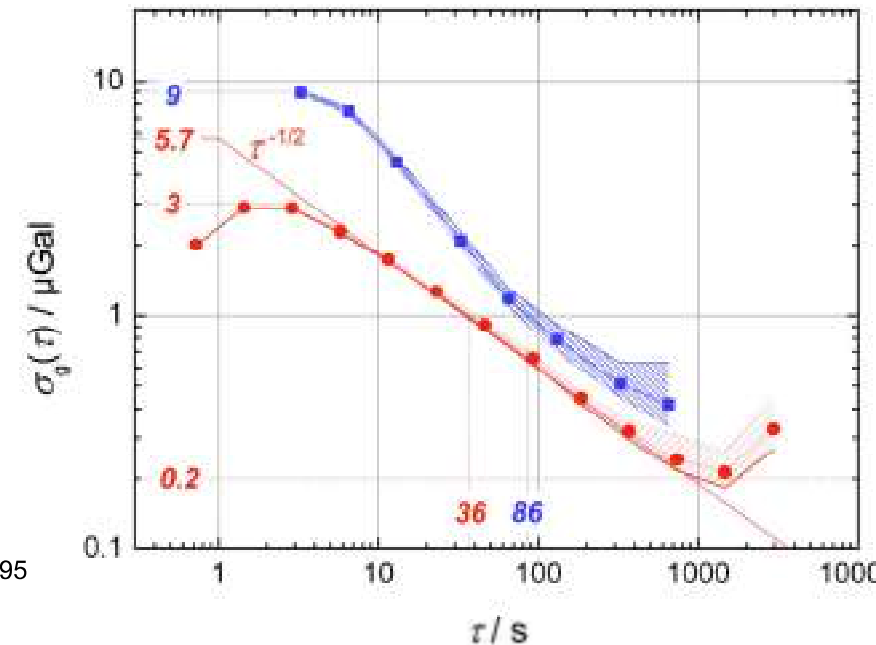
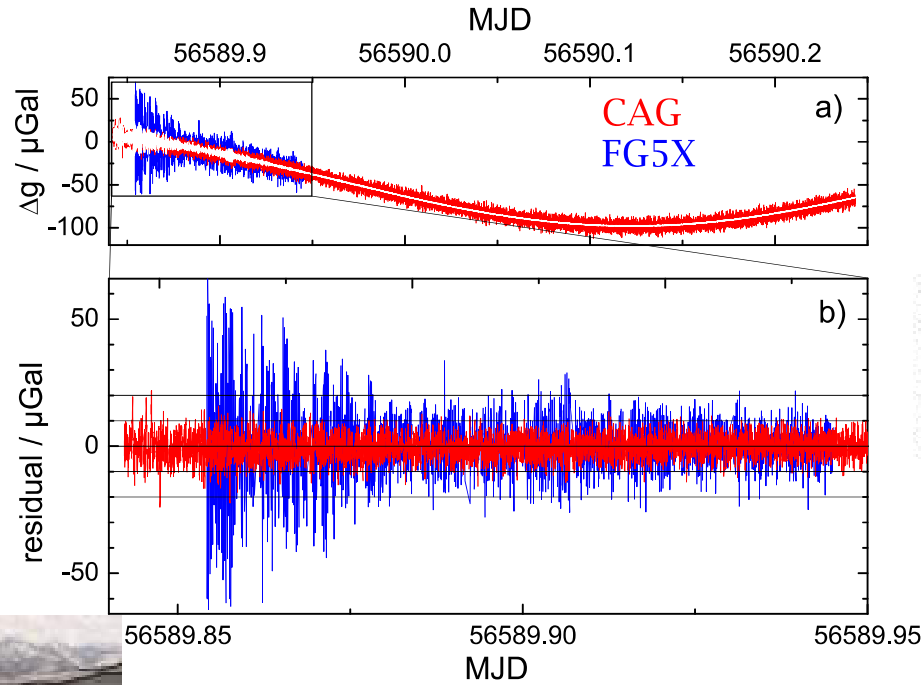


Gravimètre du LNE-SYRTE : déplaçable

OP-BIPM-LNE-Lux-LNE-LUX-LNE-LSBB-LNE-OP



Comparaison avec un gravimètre à coin de cube (FG5X)



P. Gillot et al., Metrologia 51 (2014)

CAG : Meilleure immunité vs séismes
Mesure continue
Meilleure sensibilité: $5.7 \mu\text{Gal}$ en 1s (57 nm.s^{-2})

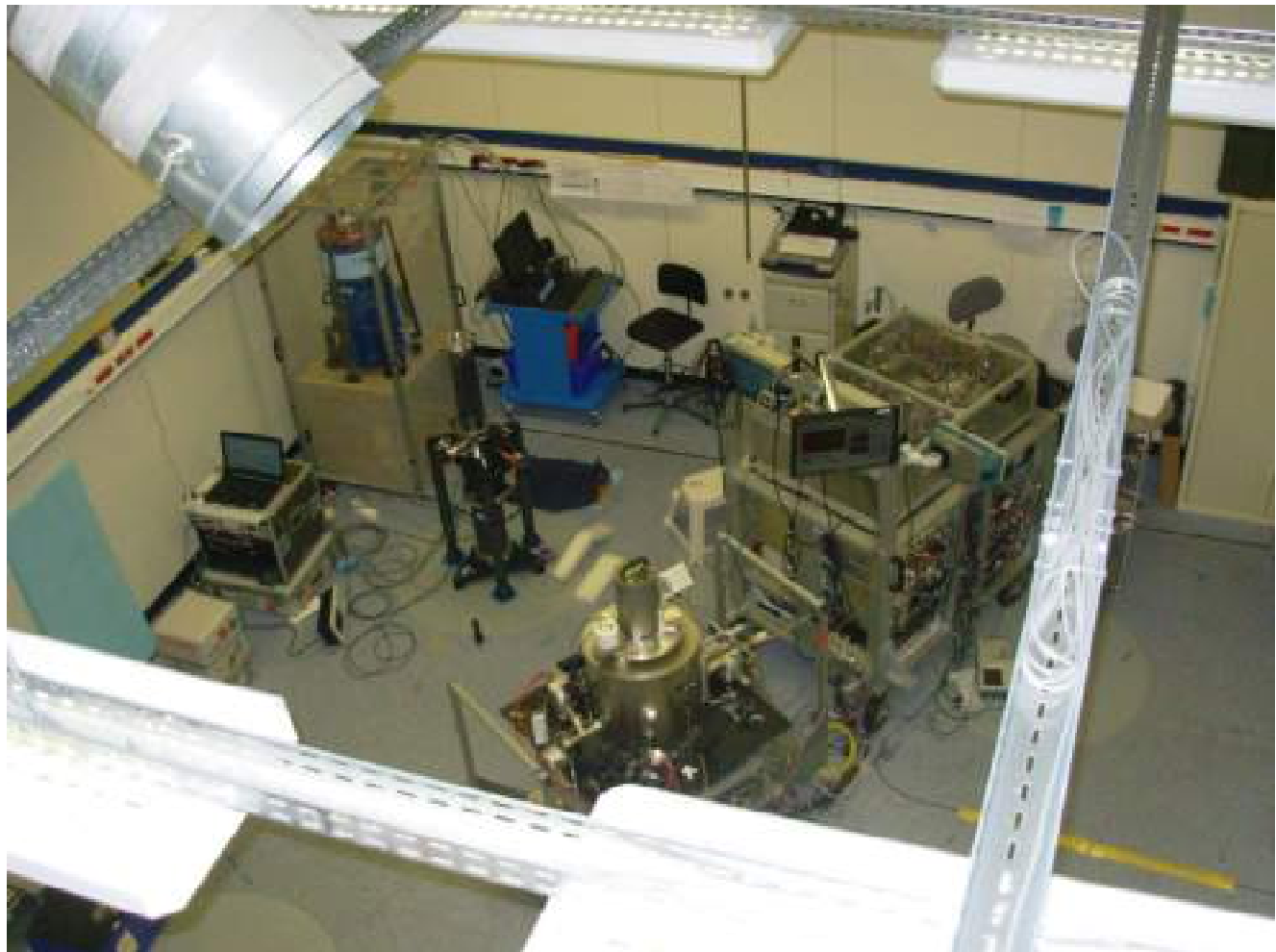
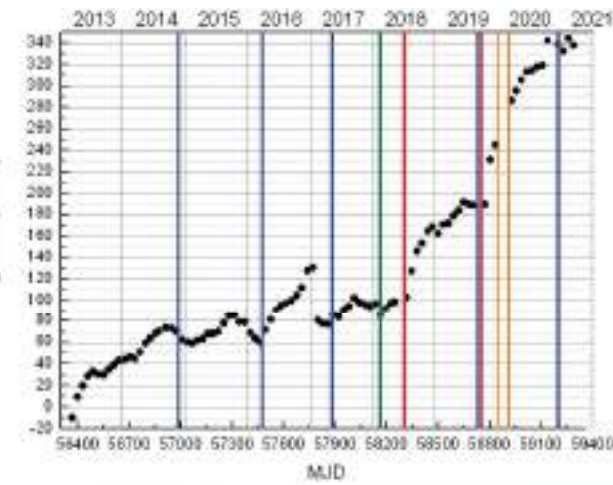
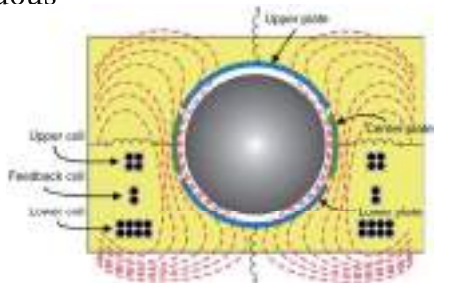
Long terme ?

Comparaison avec un gravimètre supraconducteur, étalonnage

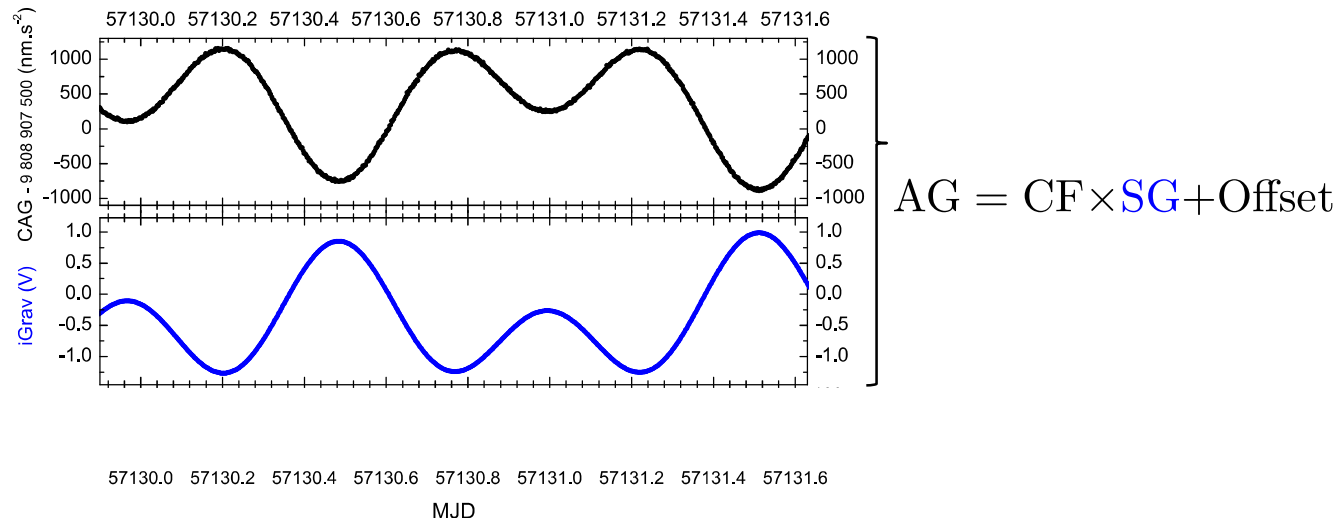
Relative gravimeter

iGrav005 SG
since 2013
<http://doi.org/10.5880/igets.tr.l1.001>

(12Hz „averaged“) 1 gravity point / s
Continuous



1.7 d de mesure en vue commune CAG vs iGrav

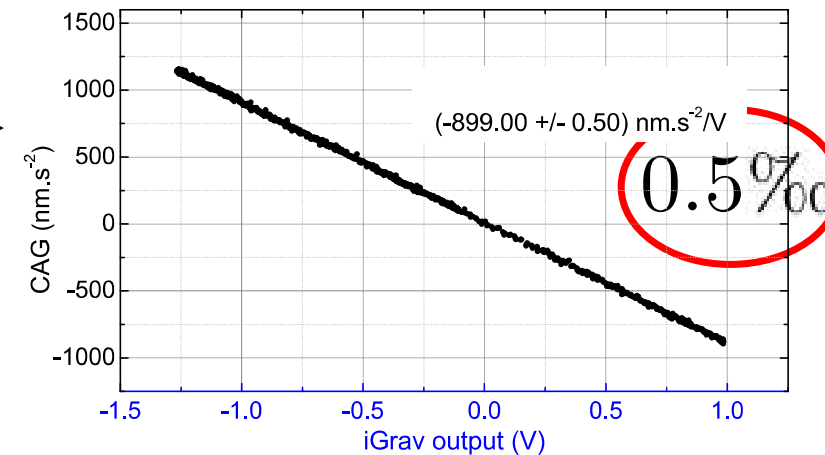
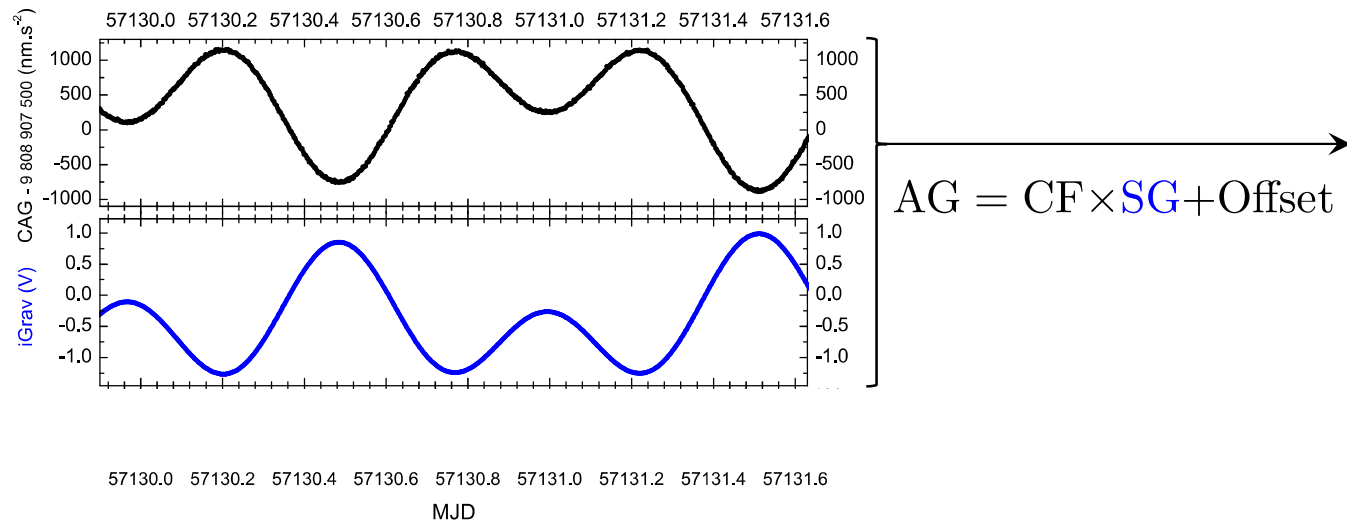


No drift in the fit.

SG is dedrifted based on long term measurement

Take into account a drift possibility in the fit would modify our CAG data and improve the long term sensitivity (which is what we investigate).

1.7 d de mesure en vue commune CAG vs iGrav

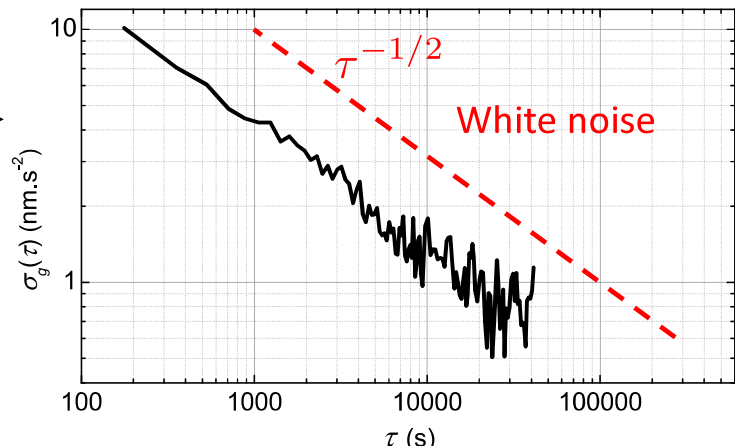
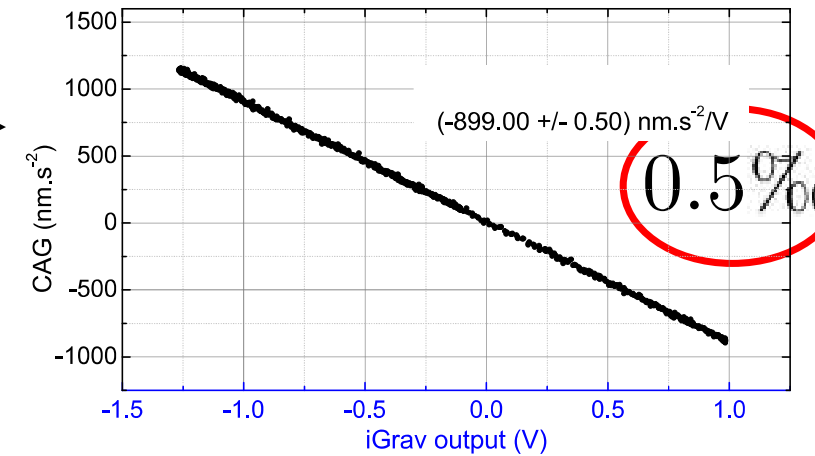
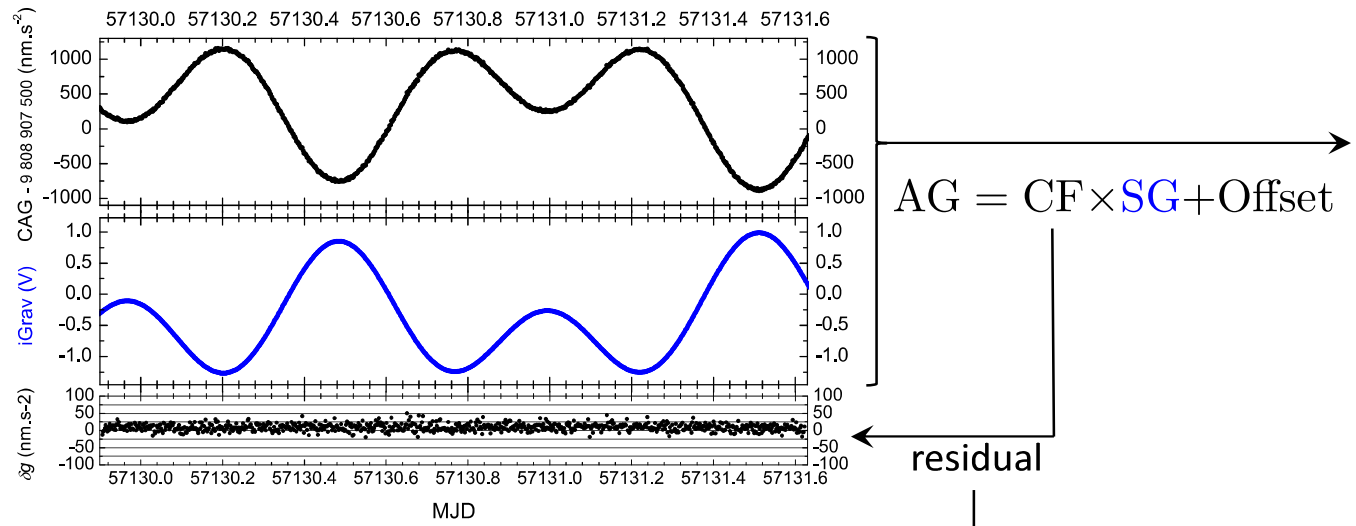


No drift in the fit.

SG is dedrifted based on long term measurement

Take into account a drift possibility in the fit would modify our CAG data and improve the long term sensitivity (which is what we investigate).

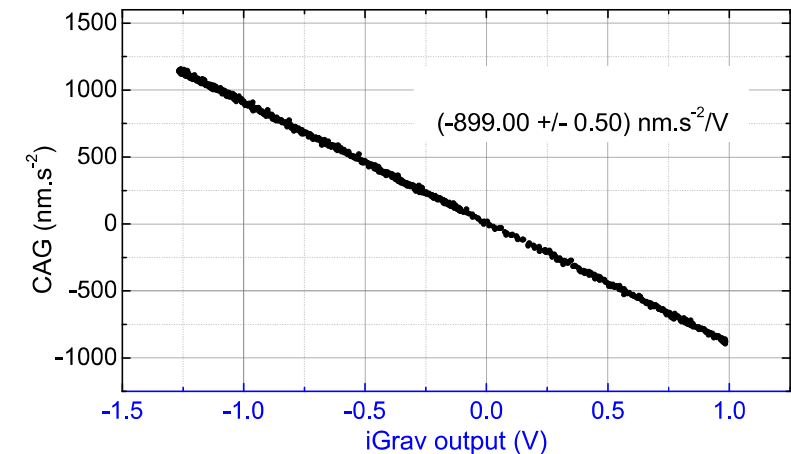
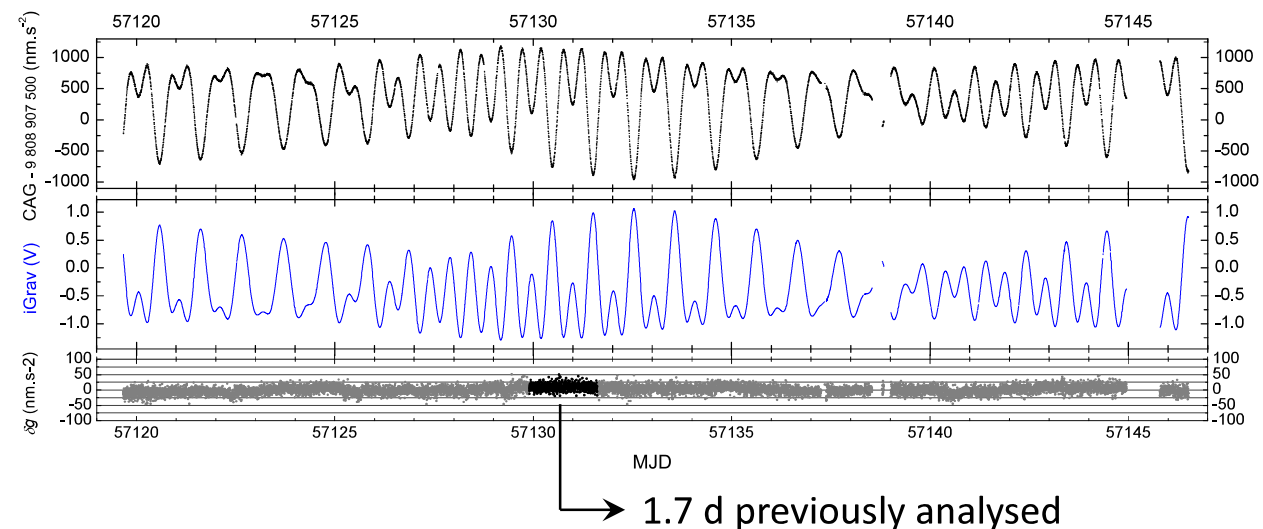
1.7 d de mesure en vue commune CAG vs iGrav



0.5 – 0.6 nm.s⁻² in 20 – 30 000 s, moreover CF at 0.5% in less than 2d.

Study finished.

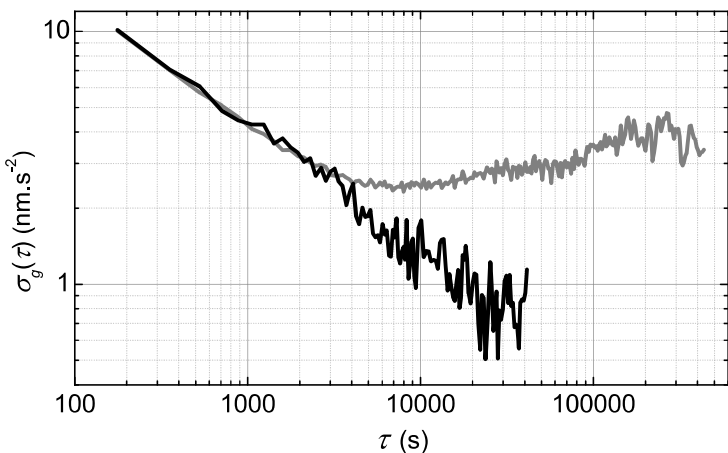
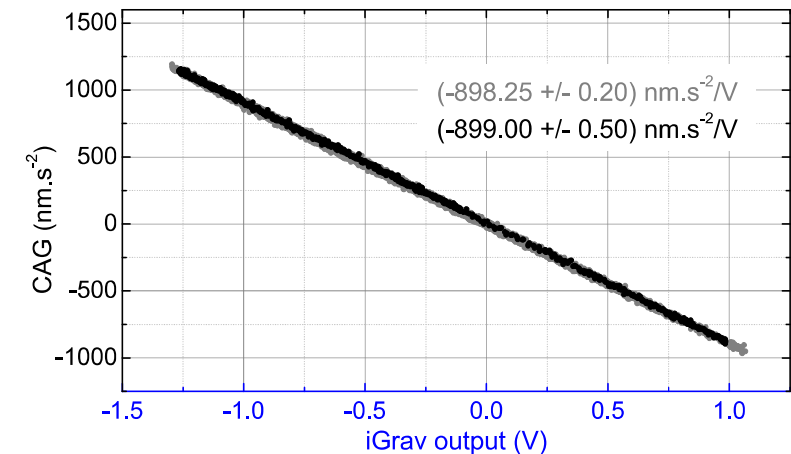
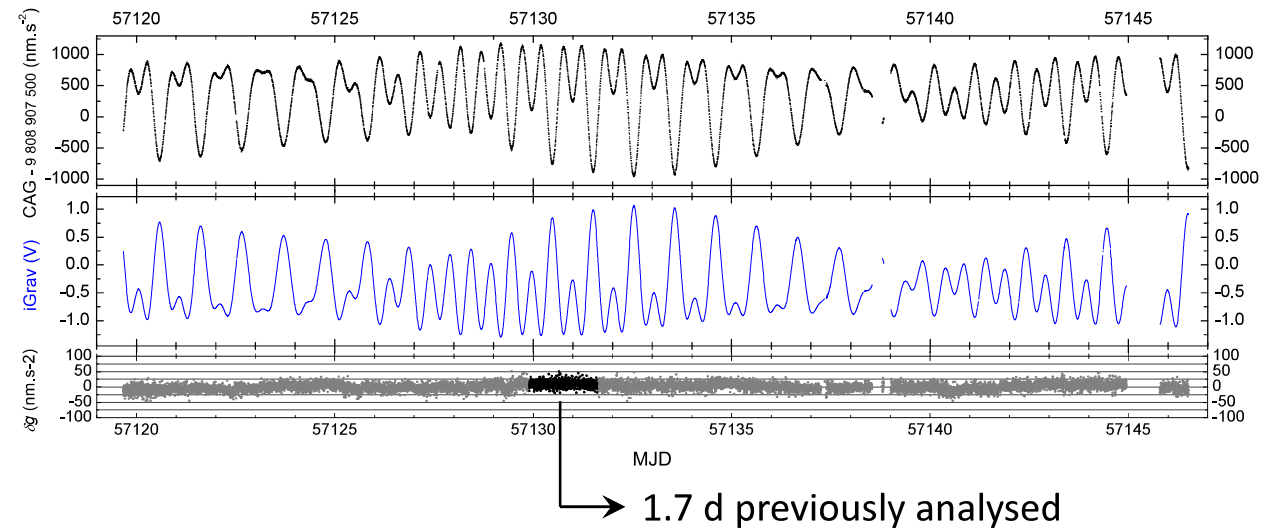
Pas 1.7 d mais 27 d de mesure en vue commune CAG vs iGrav



No drift in the fit. $AG = CF \times SG + \text{Offset}$
 Repeat the treatment for the long measurement

27 jours de mesures continues
 Inaccessible aux gravimètres coin de cube (usure), mais OK pour supra
 Opération concurrente de deux instruments : CAG et iGrav

Pas 1.7 d mais 27 d de mesure en vue commune CAG vs iGrav

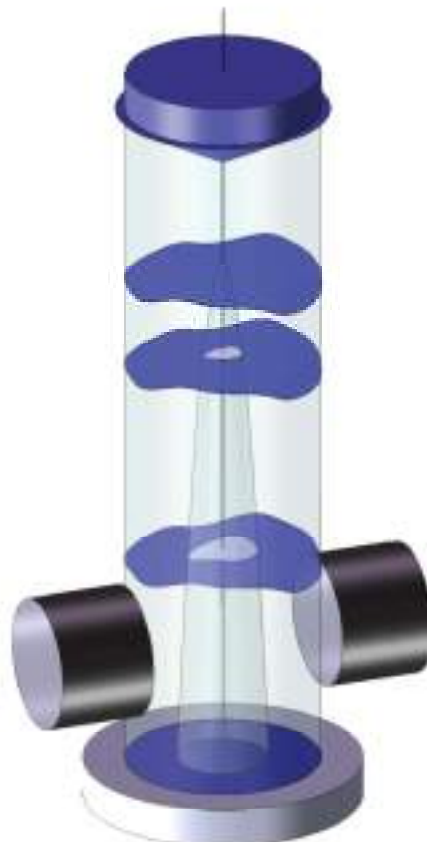


No drift in the fit. AG = CF \times SG + Offset
Repeat the treatment for the long measurement

CF ? Agreement.
Level ? 0.2 % ?
Long term stability ?
Not White noise, so 0.20/898.25 not possible

Exactitude

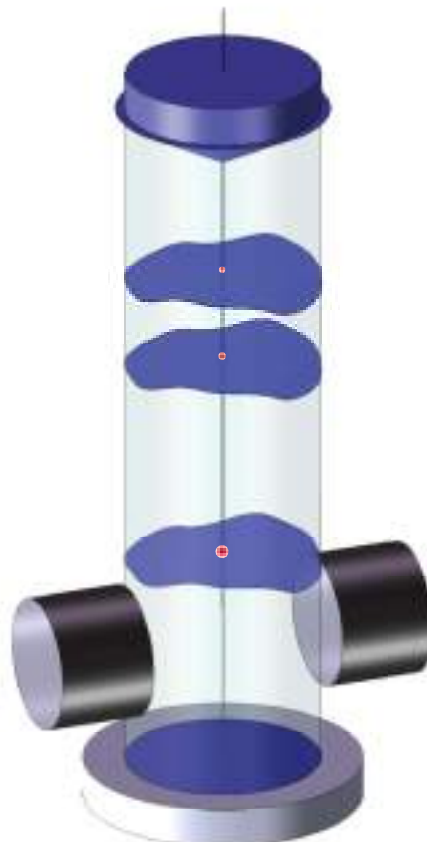
Effect	Bias μGal	u μGal
Alignments	0.3	0.5
Frequency reference	0.5	<0.1
RF phase shift	0.0	<0.1
v_{gg}	-13.4	<0.1
Self gravity effect	-2.1	0.1
Coriolis	-5.3	0.8
Wavefront aberrations	-5.6	1.3
LS1	0.0	<0.1
Zeeman	0.0	<0.1
LS2	-3.6	0.8
Detection offset	0.0	0.5
Optical power	0.0	0.5
Cloud indice	0.4	<0.1
Cold collisions	<0.1	<0.1
CPT	0.0	<0.1
Raman α LS	0.3	<0.1
Finite Speed of Light	0.0	<0.1
TOTAL	-28.5	2.0



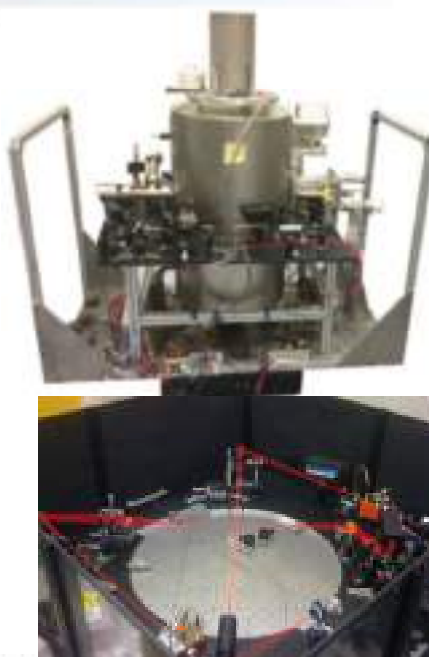
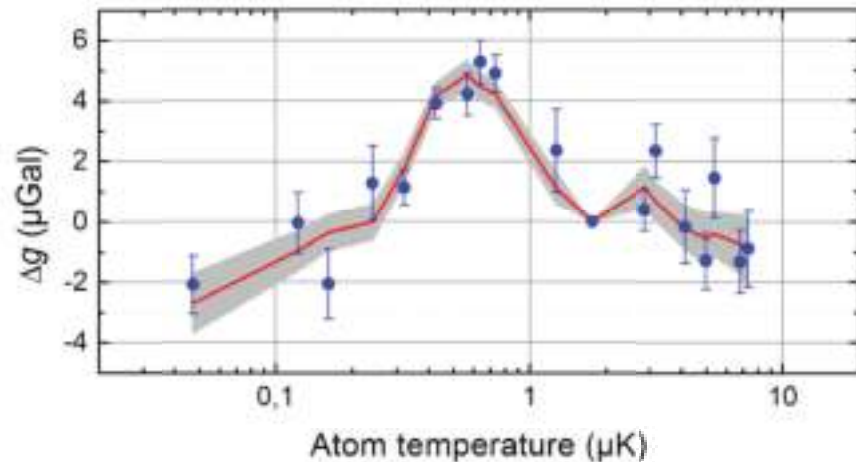
Atomes froids
 $T_{emp} \sim 2\mu K$
 $\sigma_v \sim 14 \text{ mm.s}^{-1}$

Exactitude

Effect	Bias μGal	u μGal
Alignments	0.3	0.5
Frequency reference	0.5	<0.1
RF phase shift	0.0	<0.1
v_{gg}	-13.4	<0.1
Self gravity effect	-2.1	0.1
Coriolis	-5.3	0.8
Wavefront aberrations	-5.6	1.3
LS1	0.0	<0.1
Zeeman	0.0	<0.1
LS2	-3.6	0.8
Detection offset	0.0	0.5
Optical power	0.0	0.5
Cloud indice	0.4	<0.1
Cold collisions	<0.1	<0.1
CPT	0.0	<0.1
Raman α LS	0.3	<0.1
Finite Speed of Light	0.0	<0.1
TOTAL	-28.5	2.0



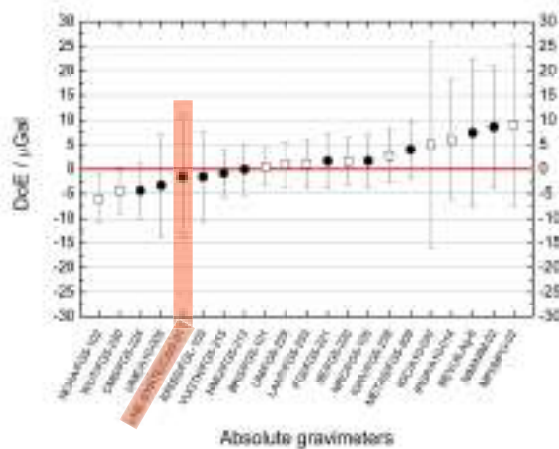
Atomes ultra froids dans un piège dipolaire (refroidissement évaporatif)
50 nK à 7 μK



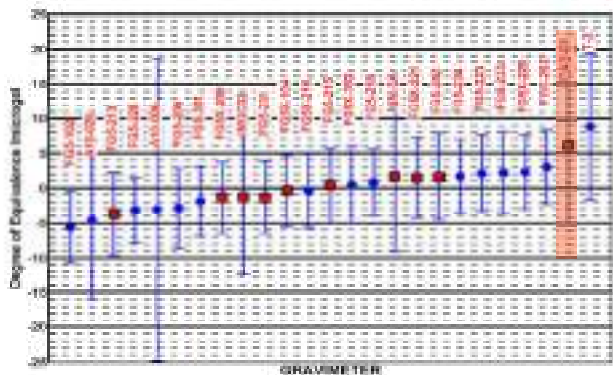
R. Karcher et al New J. Phys. 20 (2018)

Comparaisons Internationales et Nationales

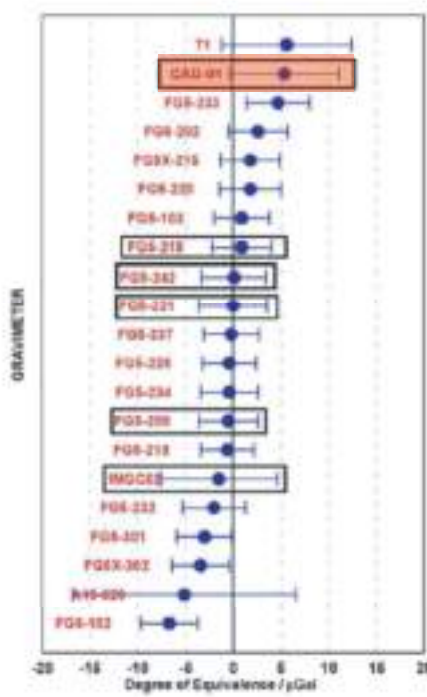
ICAG'09 (BIPM) : CCM.G-K1



CCM.G-K2 (2013, LUX)



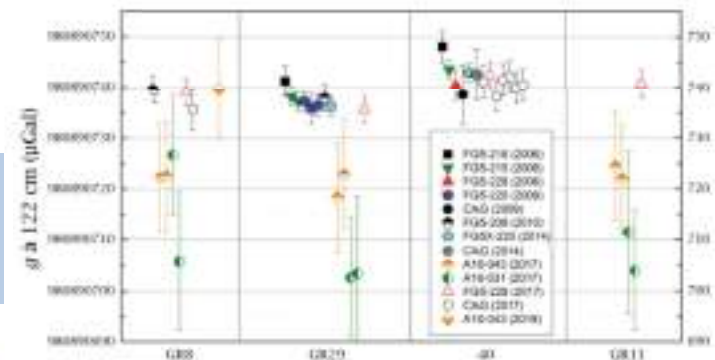
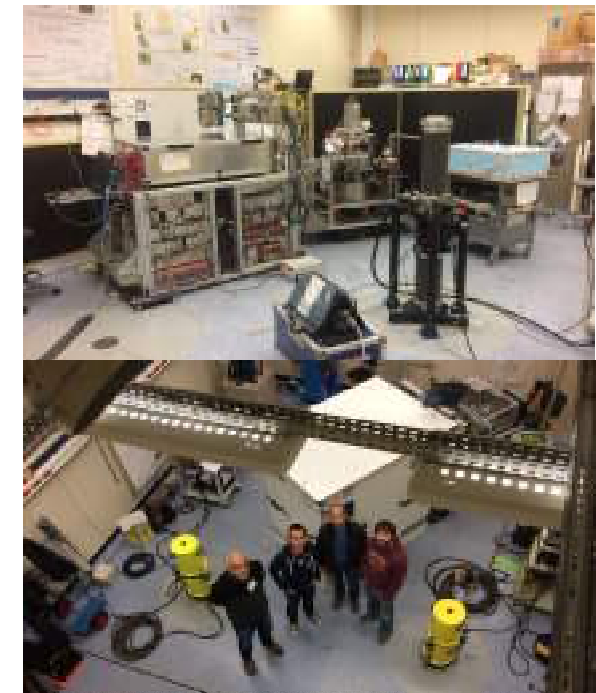
ECAG (2011, LUX)



Deux comparaisons « clés » 2009 & 2013
CAG : 1^{er} gravimètre atomique à participer
Autres instruments : gravimètres à coin de cube

Résultats du CAG

Date	Décalage (μ Gal)
2009	- 1.6 (7.8)
2011	+ 5.4 (5.7)
2013	+ 6.2 (5.5)



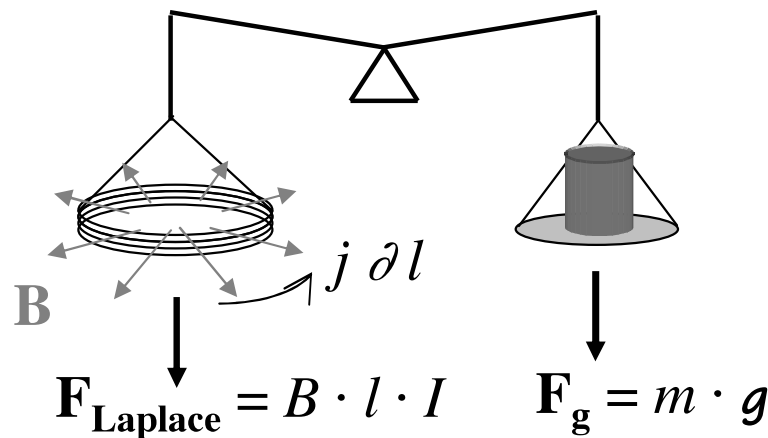
Résumé applications avec le CAG et futur

- Référence nationale, missions métrologie LNE
- Participations au CIPM KC
- Amélioration de la référence ($U < 10 \text{ nm.s}^{-2}$, stabilité long terme 1 nm.s^{-2} , fiabilisation et fonctionnement en « mode opérationnel »)
- Support aux utilisateurs (FFCC et AI)
- Transfert industriel
- Participation au SNO Gravimétrie
- Etalonnage de l'iGrav#005, études sur le facteur d'échelle
- *Détermination de g pour la mise en pratique de la définition du kg , précédemment détermination de la constante de Planck et participation à la révision du SI*

Cf, 36^{ème} réunion de la Commission « GeoPos » du CNIG, 17/10/2019

Balance du watt ou de Kibble

Etape statique

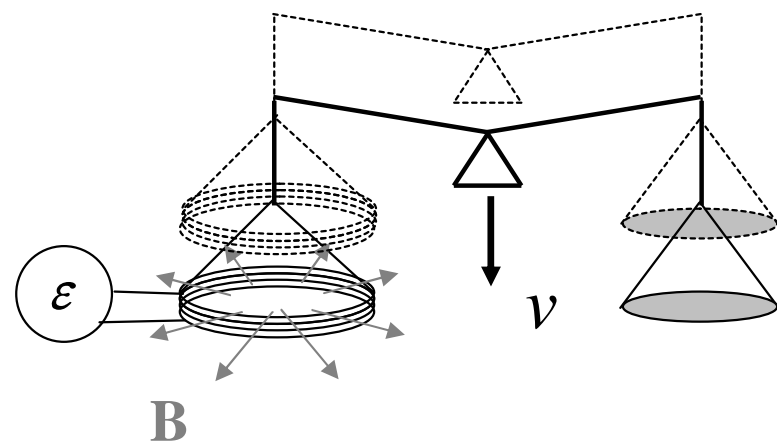


$$F_z = mg = Bli$$

1962: Josephson effect
 $V = nf/K_J$ $K_J = 2e/h$

1980: Quantum Hall effect
 $R_H(i) = R_K/i$ $R_K = h/e^2$

Etape dynamique



$$mgv = \epsilon i = \epsilon V/R$$

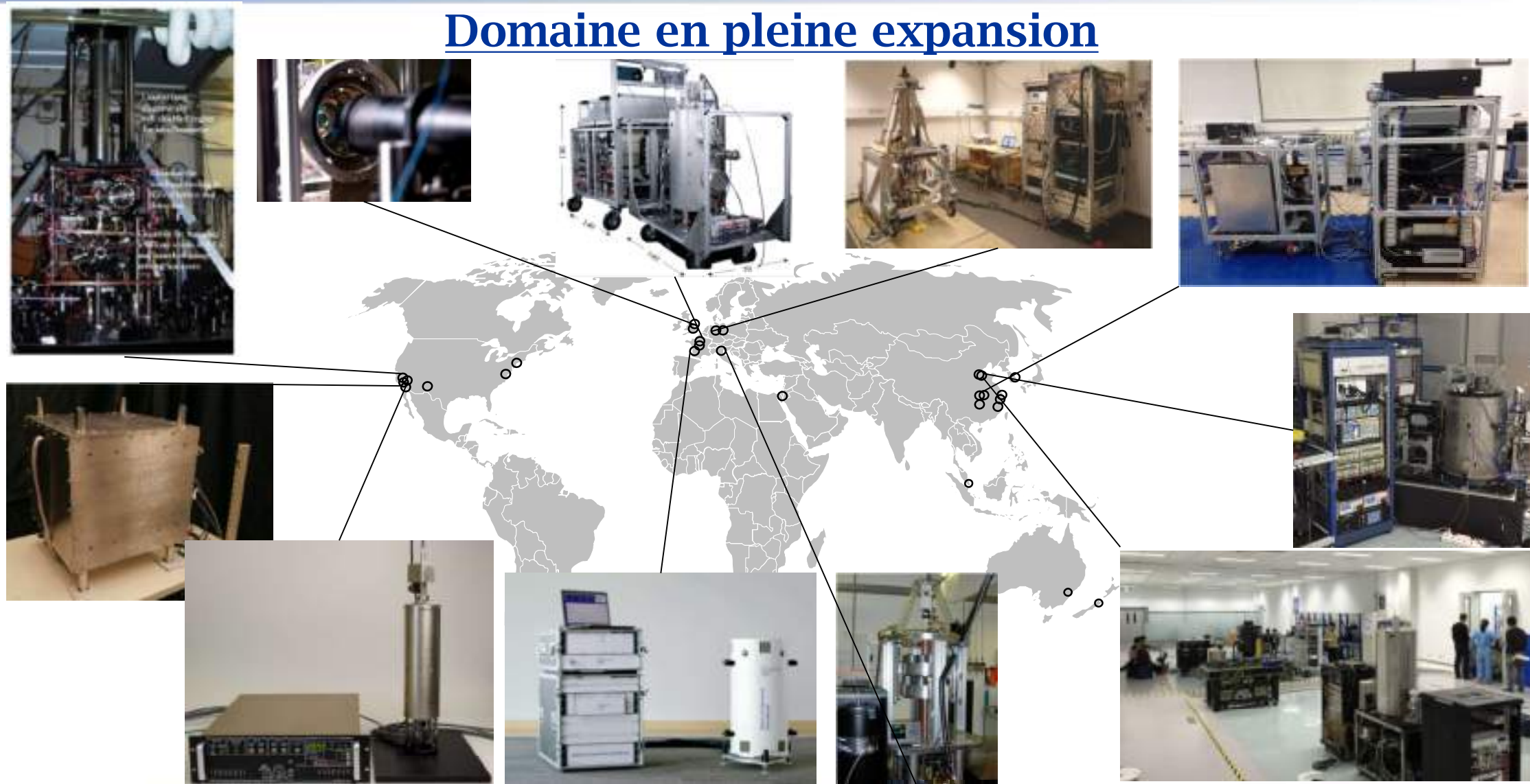
$$mgv = \frac{A}{K_J^2 R_K}$$

$$A = \frac{n_1 f_1 n_2 f_2 i}{k}$$

$$\frac{m}{h} = \frac{A}{4gv}$$

Besoin d'une mesure de g, exacte

Domaine en pleine expansion



Etat de l'art

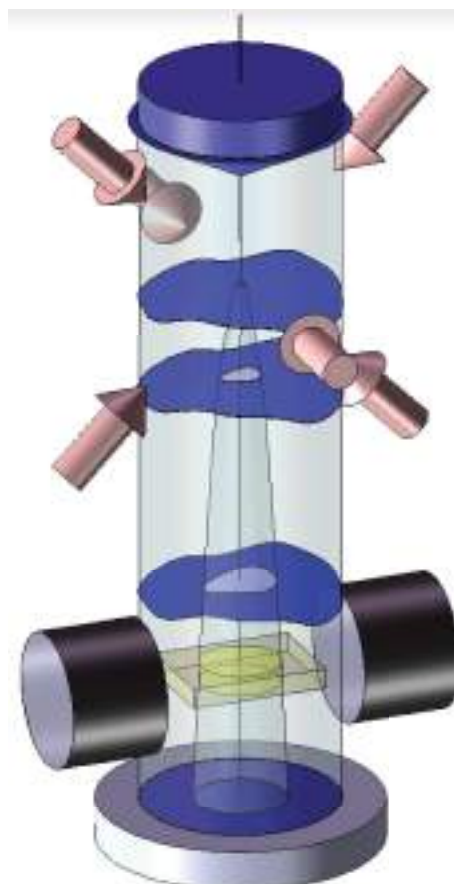
Type	Techno	Institut / Company	Name	ν_c Hz	u μGal	u _{wfab} μGal	σ_g μGal	τ s	Rq
Abs	FFCC	Micro-g	FG5X	0.3	2.0	.	~ 1.0	~ 100	dead time, wearing
		Lacoste		0.1	.	.	1.0	~ 700	
Rel	Supra	GWR	iGrav	1.0	.	.	0.01	600	drift
Abs	Atom	SYRTE	CAG	2.8	2.0	1.3	5.7	1	T=80ms dropped atoms
				.	.	.	1.0	36	
				.	.	.	0.06	20 000	
Abs	Atom	HUB	GAIN	0.7	3.2	2.2	9.6	1	T=260ms launched atoms
				.	.	.	1.0	100	
				.	.	.	0.05	100 000	
Abs	Atom	HUST	AQG	0.5	5.0	.	4.2	1	T=300ms launched atoms
				.	.	.	1.0	18	
				.	.	.	0.3	200	
Abs	Atom	muquans	AOsense	.	.	.	59.4	1	dropped atoms
				.	.	.	1.0	4000	
				.	.	.	0.3	200 000	
Abs	Atom	M Squared		

$$\Delta\Phi = -\vec{k}_{\text{eff}} \vec{g} T^2$$

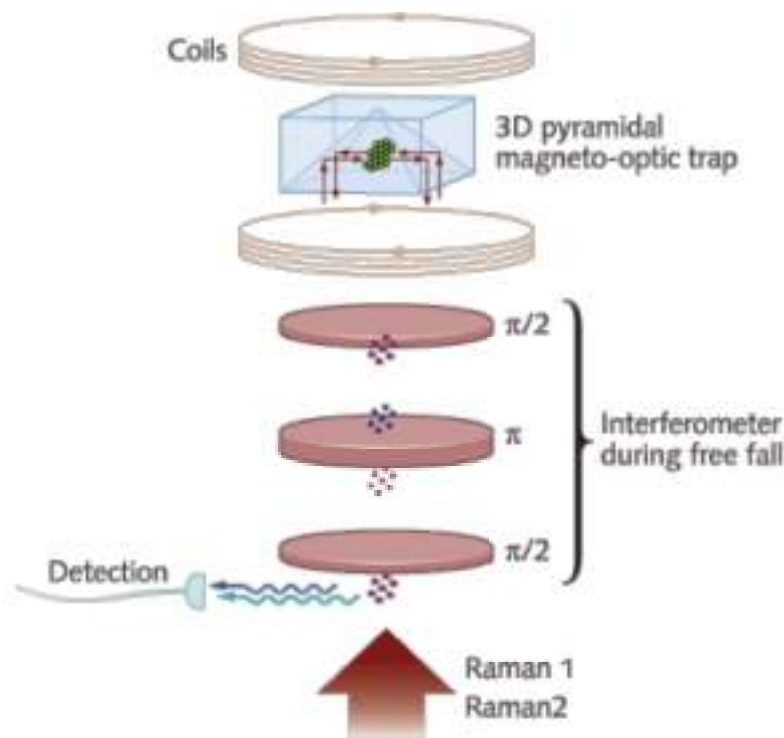
Définitions de 2T pas nécessairement corrélées avec les performances

Motivation pour le développement de gravimètres compacts ($2T \approx 100$ ms, $h \approx 5$ cm)

Simplification, fige les fonctions



15 fibres



1 seule fibre

1 seul faisceau pour réaliser :

- la source,
- l'interféromètre,
- détecter

APPLIED PHYSICS LETTERS 96, 134101 (2010)

A cold atom pyramidal gravimeter with a single laser beam

Q. Bodart,¹ S. Merlet,¹ N. Maloësi,¹ F. Pereira Dos Santos,¹ P. Bouyer,² and A. Landragin^{1,4}

¹LNE-SYRTE, Observatoire de Paris, CNRS, UPMC, 67 avenue de l'Observatoire, 75014 Paris, France

²Laboratoire Charles Fabry de l'Institut d'Optique, CNRS et École Polytechnique, RD 128, 91227 Palaiseau Cedex, France

(Received 17 December 2009; accepted 5 March 2010; published online 29 March 2010)

Suppression de la plateforme d'isolation

APPLIED PHYSICS LETTERS 105, 144102 (2014)

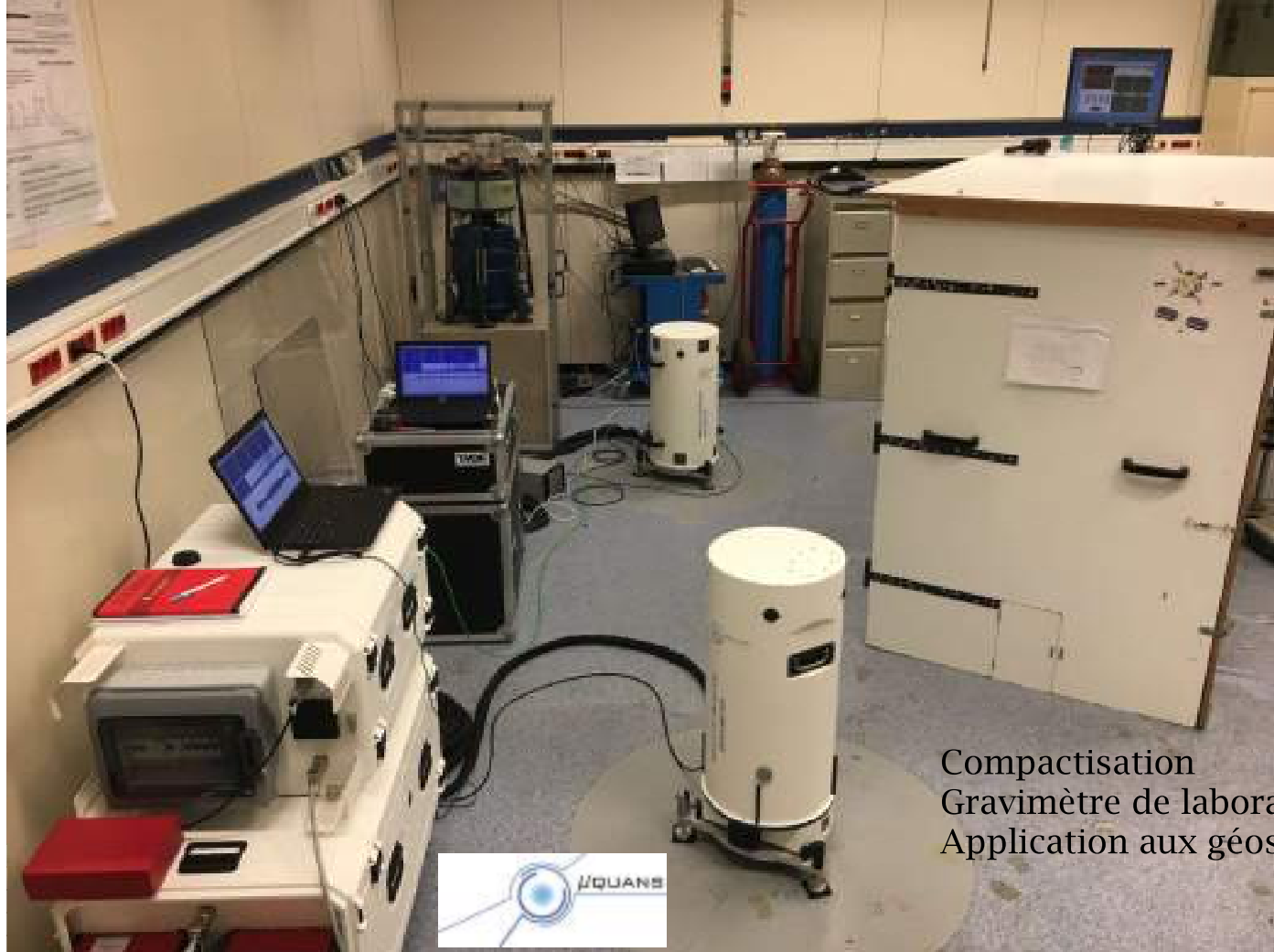
Hybridizing matter-wave and classical accelerometers

J. Lautier, L. Volodimer, T. Hardin, S. Merlet, M. Lours, F. Pereira Dos Santos, and A. Landragin^{1,4}

¹LNE-SYRTE, Observatoire de Paris, CNRS, UPMC, 67 avenue de l'Observatoire, 75014 Paris, France

(Received 29 August 2014; accepted 24 September 2014; published online 6 October 2014)

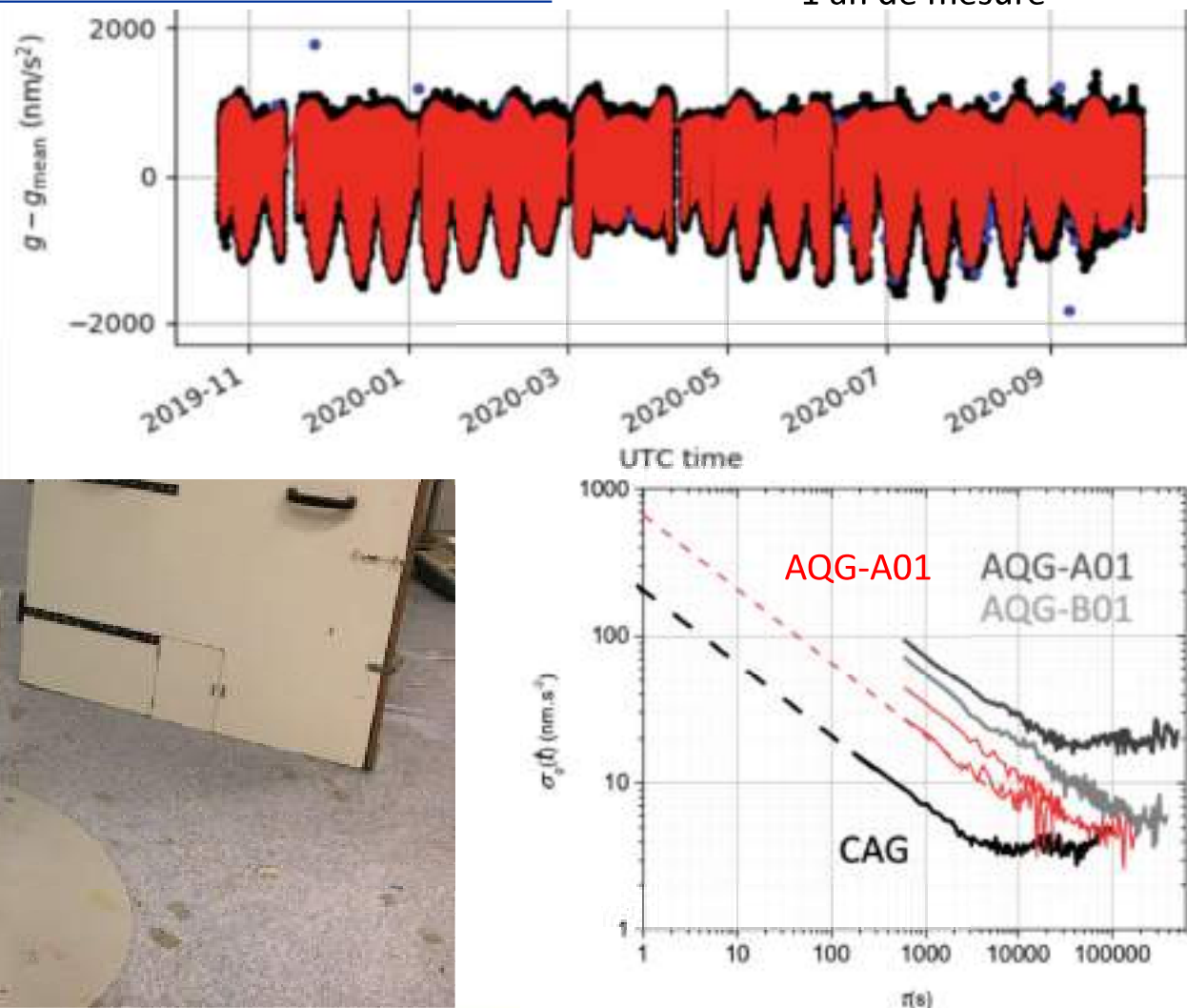
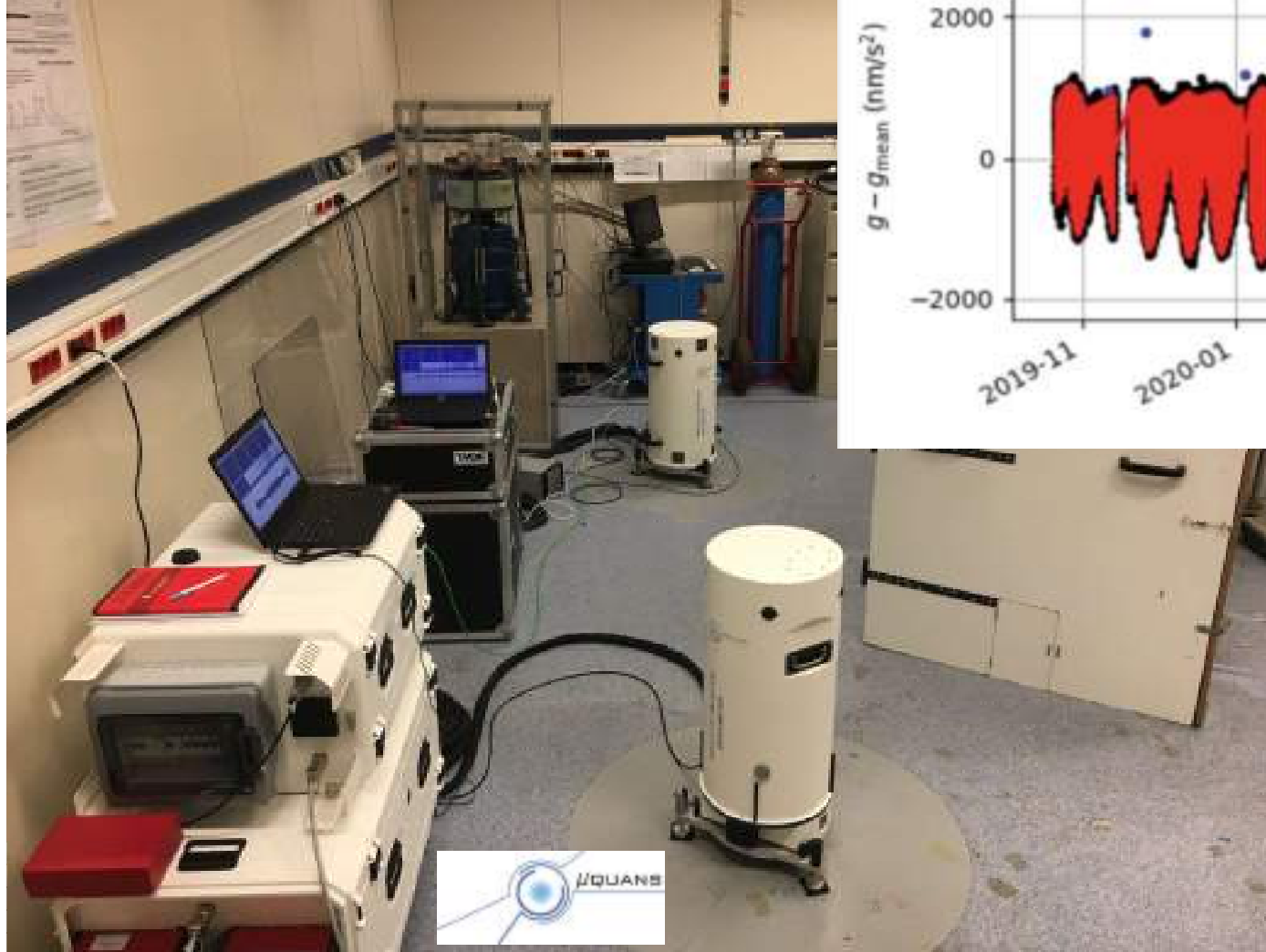
Gravimètres commerciaux



Compactisation
Gravimètre de laboratoire et de terrain
Application aux géosciences



Gravimètres commerciaux



Mesures embarquées

Développement par l'ONERA d'un gravimètre compact pour gravimétrie marine
Campagnes de mesures sur Beautemps-Beaupré (Marine Nationale)



KSS32 relative Marine Gravimeter
(Bodenseewerk)

Cold Atom Gravimeter
(Onera)

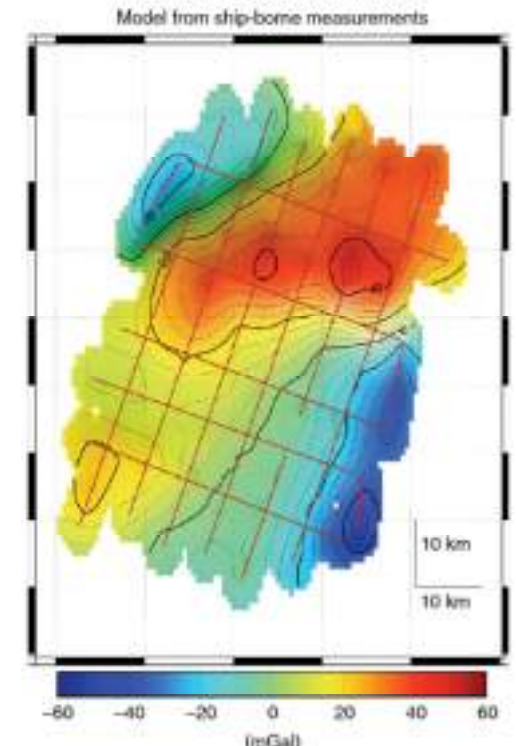
→ Meilleure performance pour le gravimètre absolu Girafe 2

- Suppression des erreurs de calibration initiale
et des corrections de dérive du gravimètre relatif

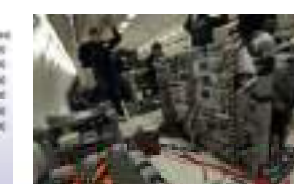
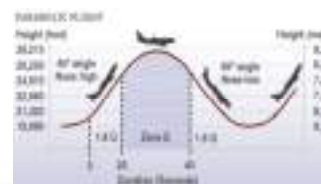
Y. Bidel et al Nat Commun. 9, 627 (2018)

→ Gain d'un facteur 2-3 sur l'incertitude des mesures

+ Campagne aéroportée *Y. Bidel et al J. Geod. 94, 20 (2020)*



ICE : Expérience pionnière
Pour accélérométrie embarquée

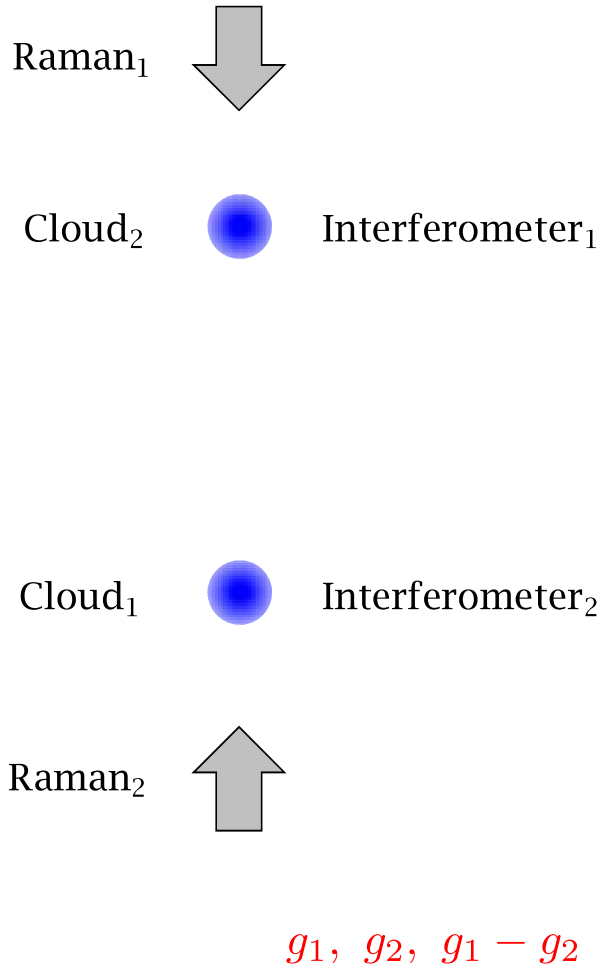


Commission Geo-PoS

Observatoire de Paris

Gravimètre embarqué:
Problème des vibrations

Gradiométrie



- Simultaneous interferometers on two cold atom clouds with common Raman lasers
- Differential measurement allows for extracting the acceleration difference (and thus the Earth gravity gradient)
- Suppression of common mode noise, and in particular of the vibration noise
- Adapted for onboard measurements
- g and Δg : resolve ambiguities in determination of mass and position

How to increase the sensitivity ?

$$\Delta\Phi = \vec{k}_{\text{eff}} \vec{g} T^2$$

↑ ↑

Increase the scale factor

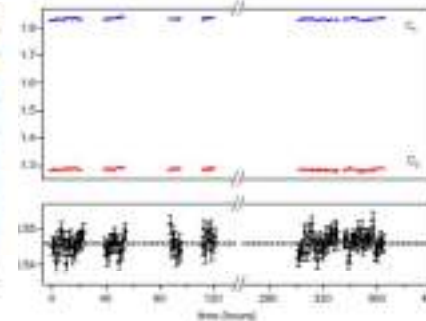
New tools

- High order Bragg diffraction LMBS with up to N photons
- Ultracold atoms
Fast generation on atom chip

Applications

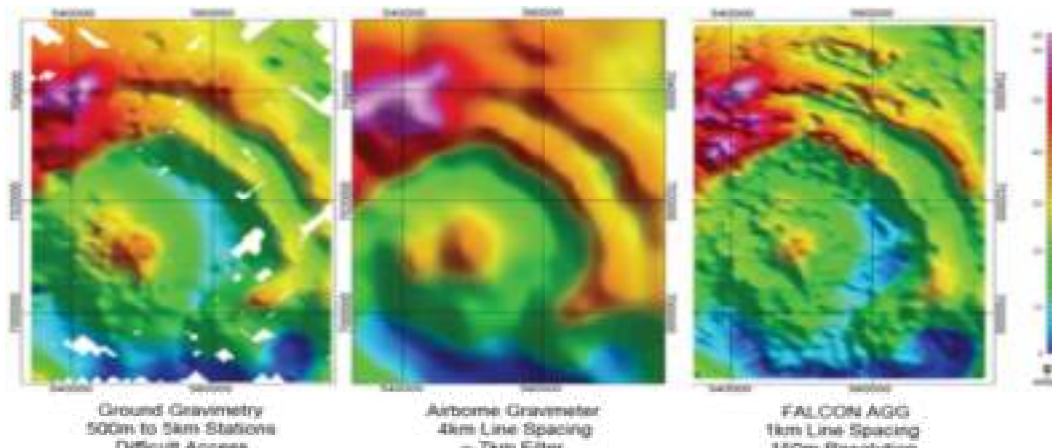
- Mesure de G

Florence (G. Tino)



Incertitude relative : $1.5 \cdot 10^{-4}$

- Mesures embarquées (aéroportées)



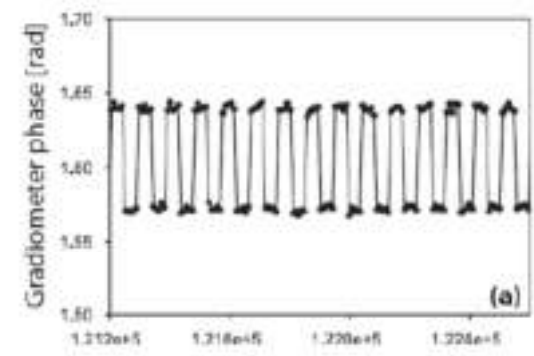
- Génie civil

Détection infrastructures souterraines, réseaux de tuyaux ...

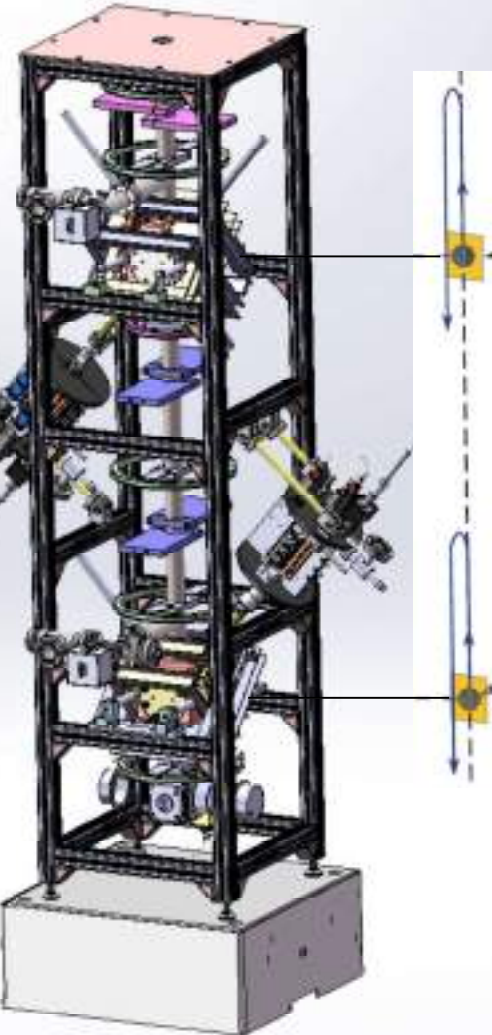
Projet Gravity Pioneer (UK)

- Mesure de G

Stanford (M. Kasevich)



Quantum dual gravi-gradio meter



- 2 ultracold Rb clouds obtained on 2 chips
- 2 clouds launched with elevator
- 2 Interferometers driven by LMTB

Targeted parameters

$$T_c = 2s \quad N_{\text{atoms}} = 5 \cdot 10^5$$

$$T_{\text{emp}} = 10 - 100 nK$$

$$p = 100 \hbar k \quad 2T = 0.5s$$

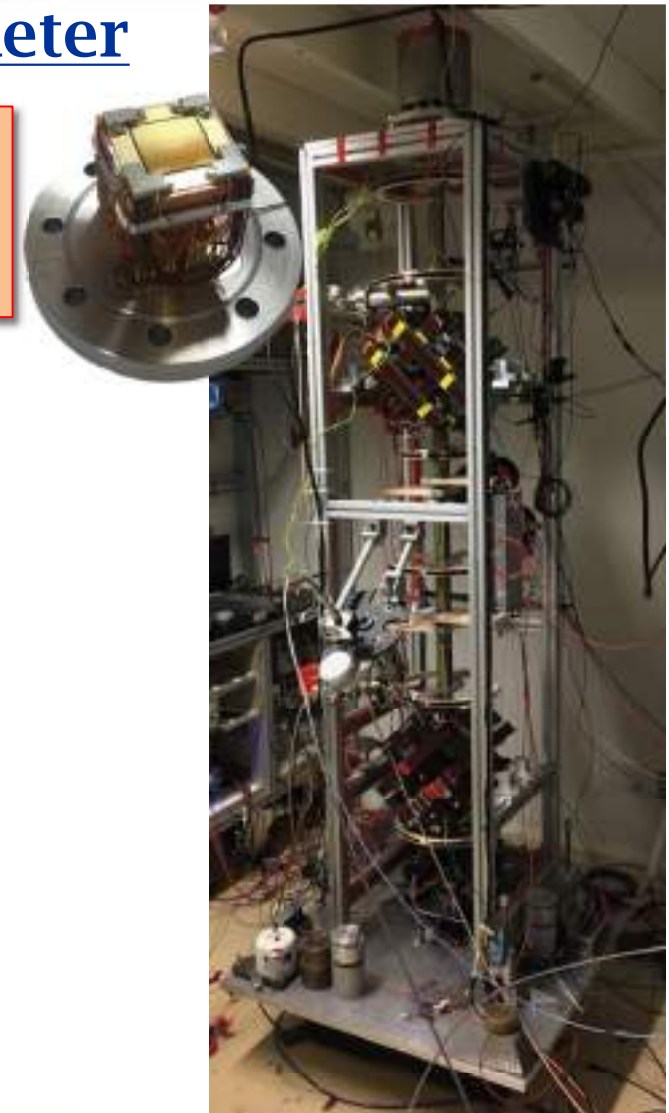
$$\sigma_g^1 = 9 \times 10^{-11} m.s^{-2}.Hz^{-1/2}$$

If limited by QNP

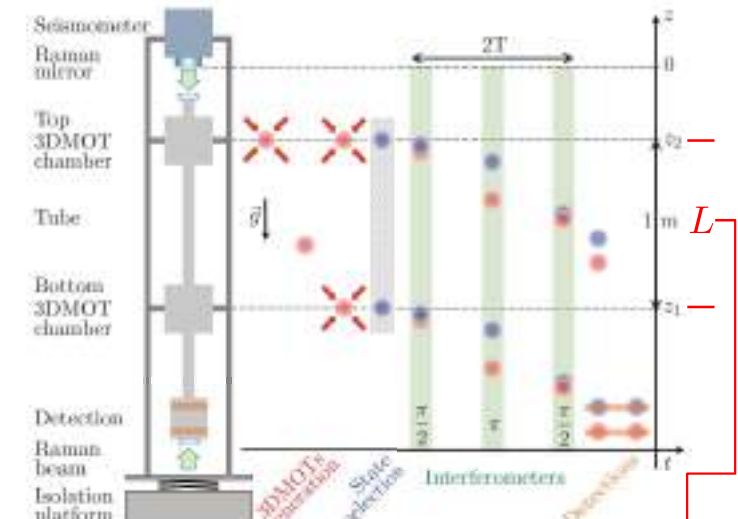
$$\Delta z = 1m$$

$$\sigma_{\text{grad}g} = 126 \text{ } mE @ 1s$$

More than one order of magnitude better than state of the art

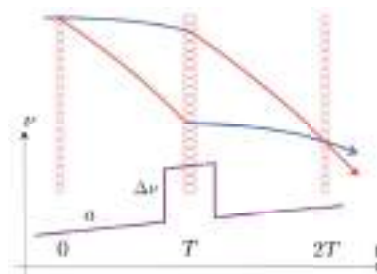


Premiers résultats



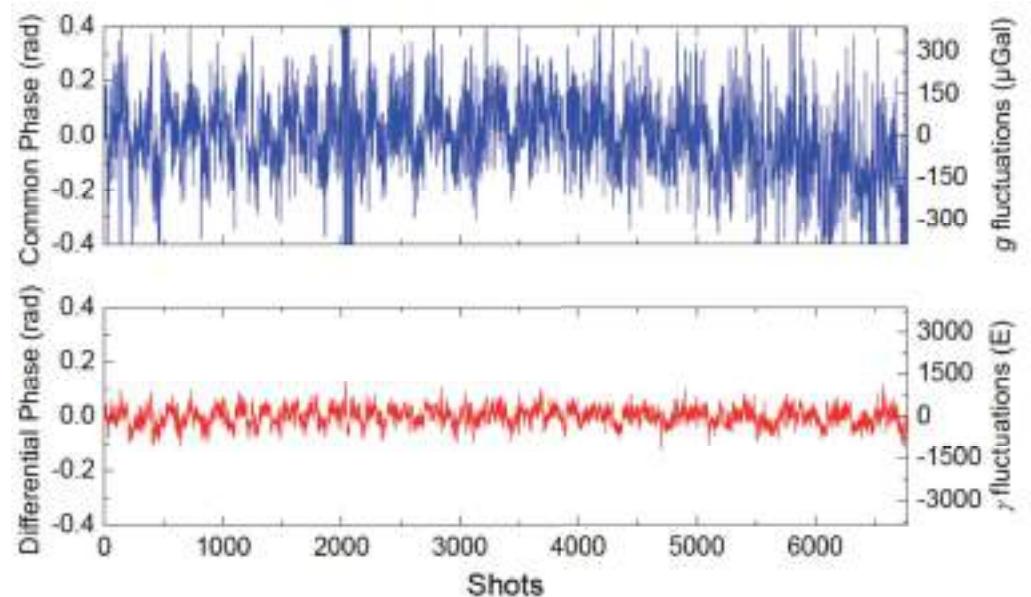
$$\Delta\Phi = \Phi_2 - \Phi_1 = kg_2 T^2 - kg_1 T^2 = k\gamma L T^2$$

$$\Phi_i = kg_i T^2 + aT^2 + K_i \Delta\nu \quad \begin{cases} \Delta\Phi_i^{\text{FC}} = aT^2 \\ \Delta\Phi_i^{\text{FJ}} = K_i \Delta\nu \end{cases}$$



$$\begin{cases} \Delta\nu = \frac{k(g_1 - g_2)T^2}{K_2 - K_1} \\ a_s = -k \left(\frac{K_2 g_1 - K_1 g_2}{K_2 - K_1} \right) = -kg_s \end{cases} \xrightarrow{\begin{array}{l} K_i = 8\pi z_i/c \\ g_i = g_0 + \gamma z_i \end{array}} \begin{cases} \Delta\nu_\gamma = -\gamma \frac{kT^2 c}{8\pi} \\ g_s = g_0 \end{cases}$$

Accurate determinations of **both** the gravity acceleration (at the mirror position) and the gravity gradient, **independent from the baseline**



R. Caldani et al., Phys. Rev. A 99 033601 (2019)

Collaboration GRADIOM, ANR GRADUS

RAPID (Régime d'APPui à l'Innovation Duale) DGA avec muquans et Alphanov. Nouveau (suite) projet ANR Gradus

ANR

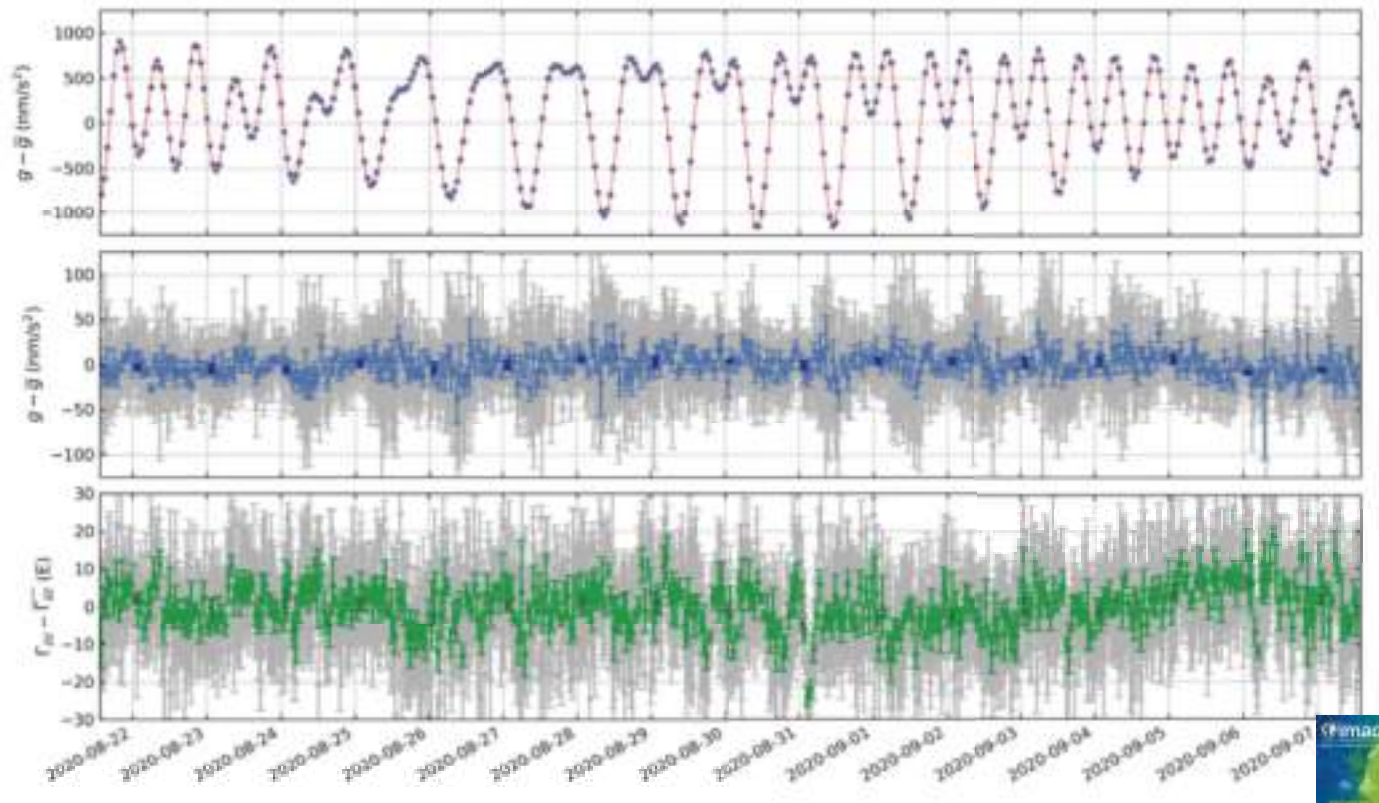


Mesures continues de g et dg (vertical) avec un instrument compact et facilement transportable

Differential Quantum Gravimeter (DQG)



50 E/ $\sqrt{\tau}$ et 360nm/s 2 / $\sqrt{\tau}$ (au 2ème étage !)
Long terme: 0.1E et > 5nm/s 2



C. Janvier et al., Recent advances in quantum gravity sensors, (2021), <https://doi.org/10.1190/segam2021-3580909.1>

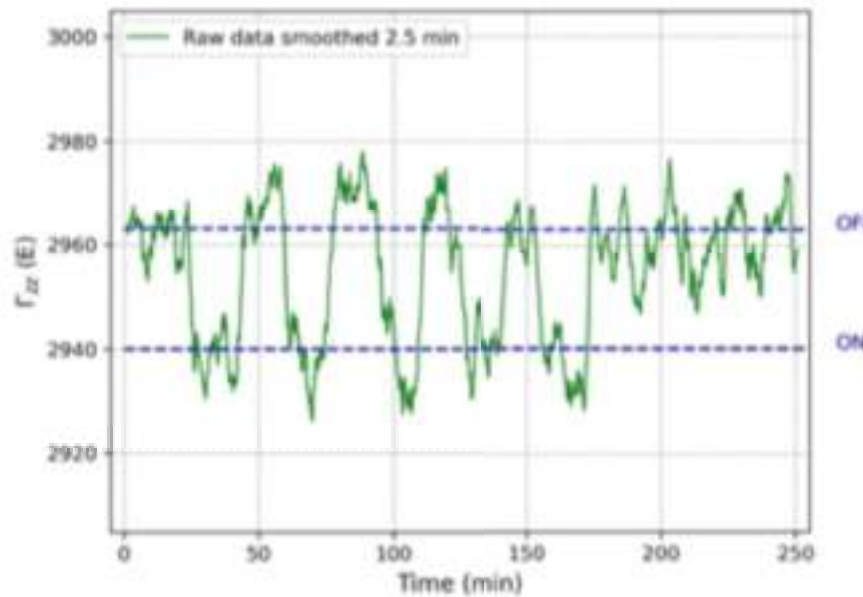
Collaboration GRADIOM, ANR GRADUS

RAPID (Régime d'APPui à l'Innovation Duale) DGA avec muquans et Alphanov. Nouveau (suite) projet ANR Gradus



Mesures continues de g et dg (vertical) avec un instrument compact et facilement transportable

Differential Quantum Gravimeter (DQG)



Déplacement d'une masse de 100 kg à proximité du DQG



C. Janvier et al., Recent advances in quantum gravity sensors, (2021), <https://doi.org/10.1190/segam2021-3580909.1>

Commission Geo-PoS

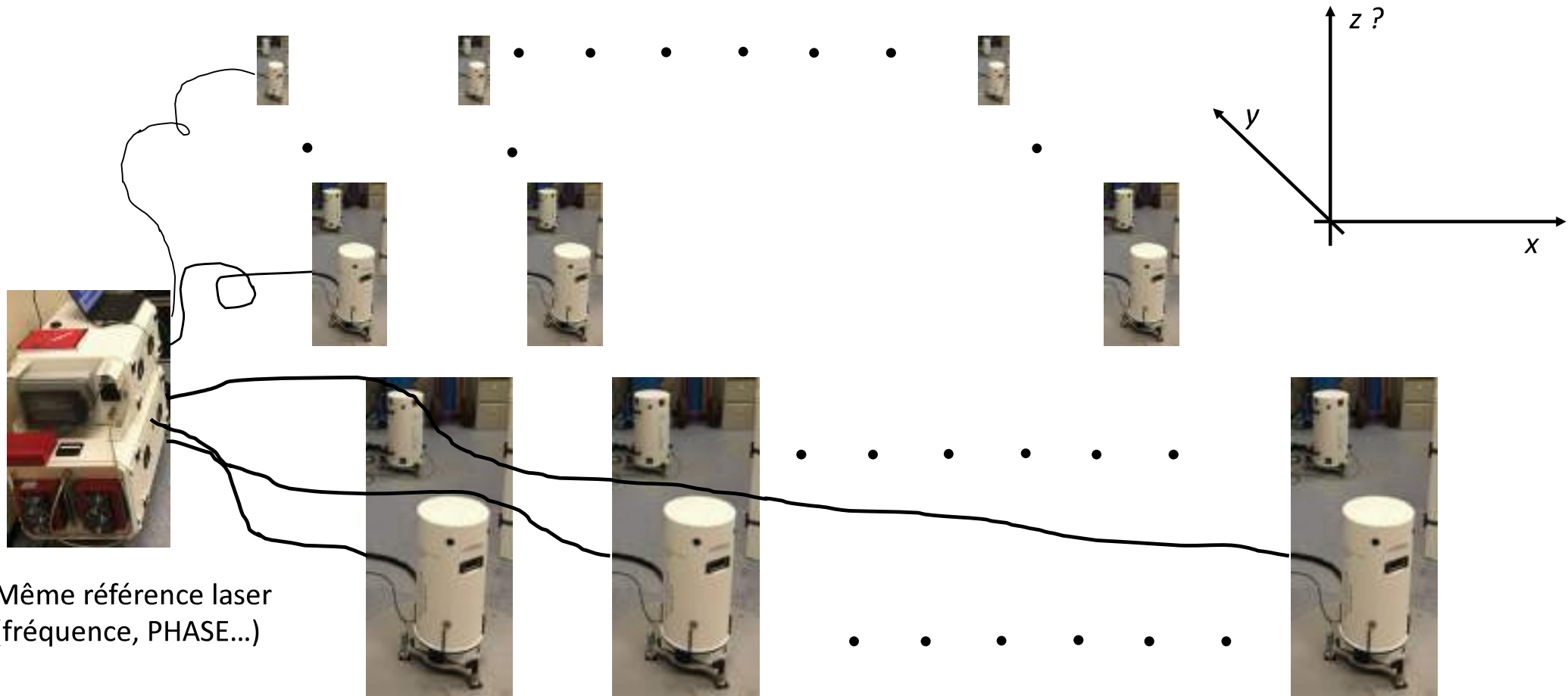
Observatoire de Paris

32

LNE-SYRTE

Réseaux

Réseaux de gravimètres et/ou gradiomètres, échelles ?



Même référence laser
(fréquence, PHASE...)

MIGA : Gravitation et Géophysique avec des capteurs atomiques

Equipex porté par LP2N, consortium de 15 laboratoires

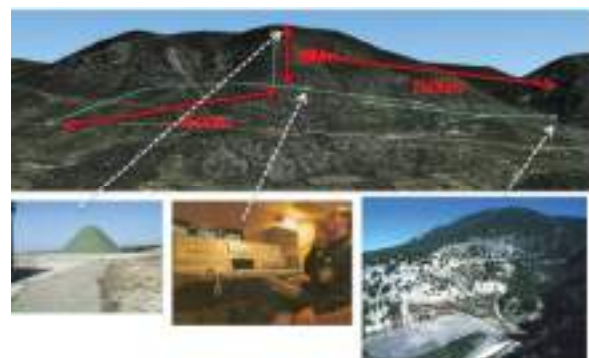


Gradiométrie à très longue ligne de base avec 3 interféromètres séparés de 150 m

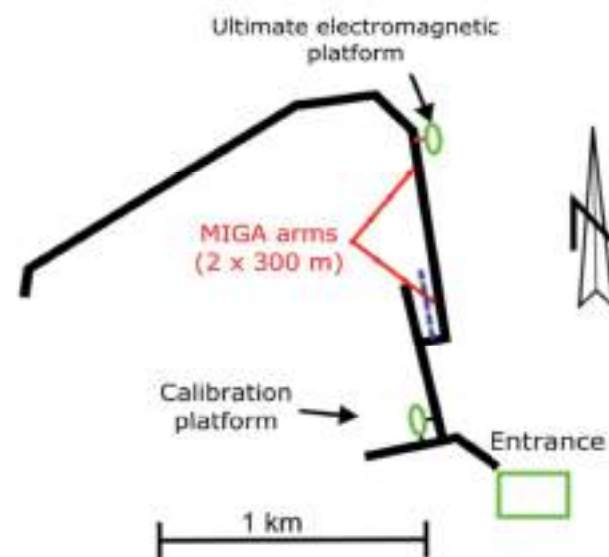
B. Canuel et al., « Exploring gravity with the MIGA large scale atom interferometer », arxiv. 1703.02490.



- Surveillance des distributions de masses souterraines
Applications: géophysique, hydrologie
- Détection d'ondes gravitationnelles



LSBB Laboratoire Souterrain à Bas Bruit
Low Noise Site Observatory Underground Science & Technology



T. Farah et al., Gyr & Nav 5, (2014).

Inauguration projet LSBB 2020, 22/10/2021

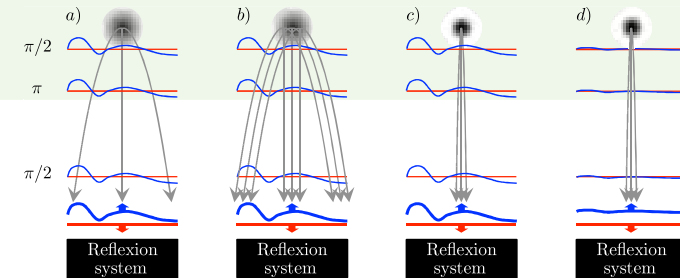
Conclusion

<https://syrte.obspm.fr/spip/science/iaci/>
<https://syrte.obspm.fr/spip/science/iaci/publications/>

- Techniques AI: matures pour développement de gravimètres et de capteurs inertIELS
- Performances rivalisent ou dépassent les technologies « classiques »

Efforts pour rendre plus compacts, plus robustes les sous systèmes clefs

Transfert industriel, commercialisation



- Limites pas encore atteintes, perspectives d'amélioration des performances (sources ultra-froides et transitions multiphotoniques...)

Diversité des applications : physique fondamentale, géophysique, géodésie, surveillance des réservoirs, génie civil, navigation...

- Projets spatiaux: Gradiométrie Atomique spatiale



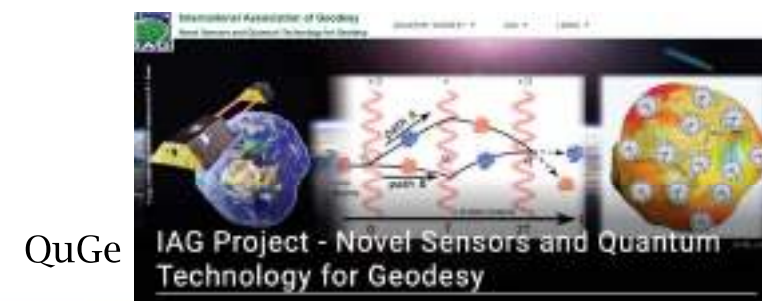
CAI



Observatoire de Paris



CARIOQA



Commission Geo-Pos

<https://syrte.obspm.fr/spip/science/iaci/>
<https://syrte.obspm.fr/spip/science/iaci/publications/>



Commission Geo-PoS